

Electrochimie

Cours d'introduction

Jules Schleinitz

22 Septembre 2021

Plan du Cours

1. Le Module

2. Introduction Historique

- Thermodynamique
- Cinétique Chimique
- Hydrodynamique

3. Applications contemporaines

- Accumulateurs
- Cellules photovoltaïques
- Détection de nanoparticules
- Etude mécanistique

4. L'Electrochimie à l'ENS

5. Bibliographie

Le Module

COURS

(~15h)



**Laurent
THOUIN**

TP

2 à 3 séances



**Eric
LABBE** **Emile
ESCOUDE**



TD

(~12h)

Le Module

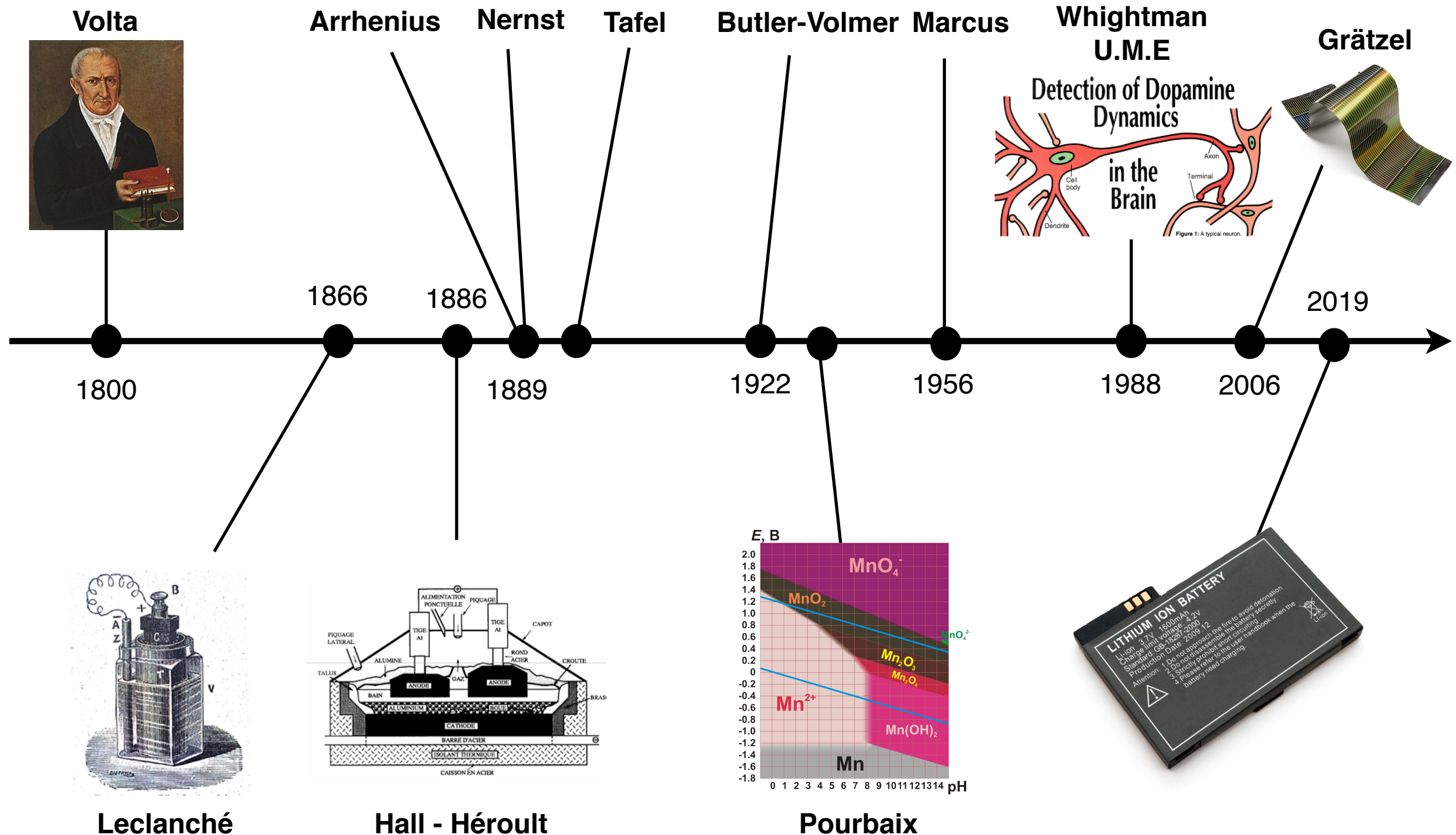
Évaluation

TP

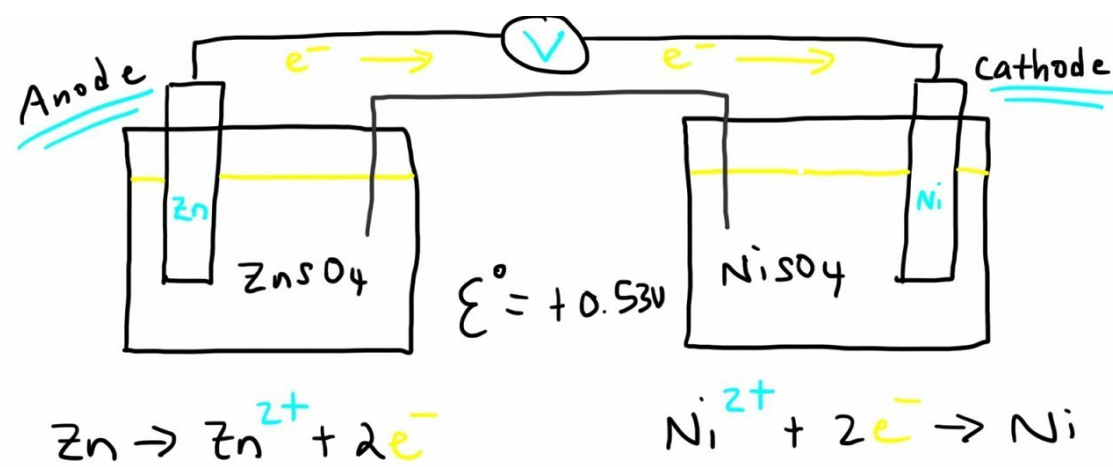
Oral mi-semestre

Partiel

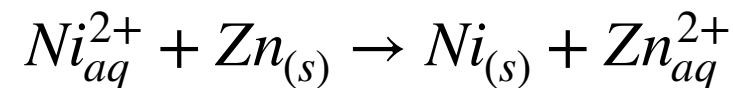
Petit point historique



Loi de Nernst



- Réaction :



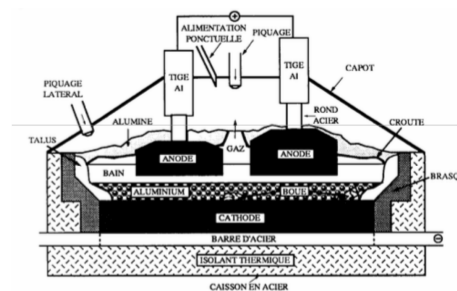
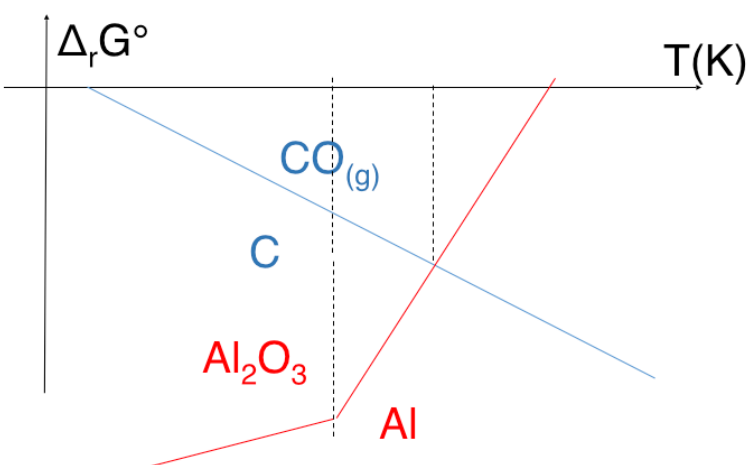
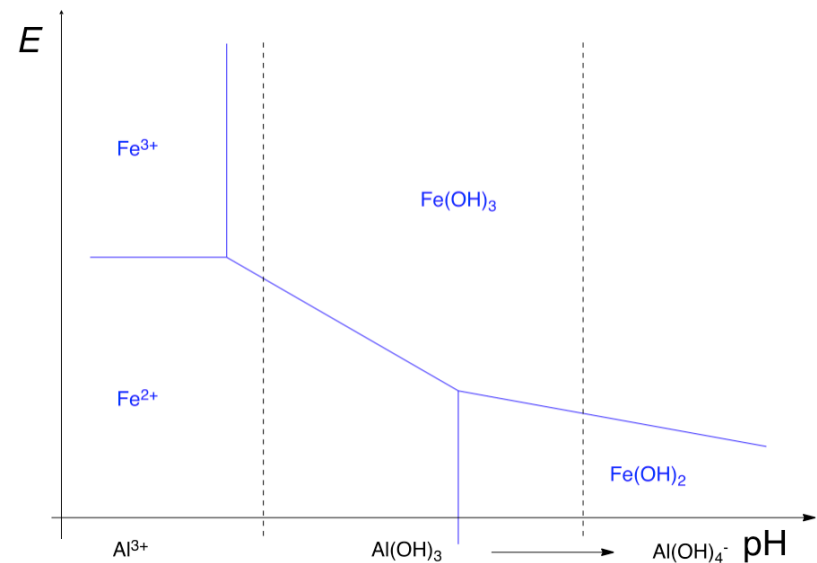
- Nernst :

$$E = E^0 + \frac{RT}{nF} \ln\left(\frac{a_{Ox}}{a_{Red}}\right)$$

- Calcul de la force électromotrice :

$$\Delta E_{pile} = E_{couple_1} - E_{couple_2}$$

Potentiel Electrique



- Thermo et potentiel électrique :



$$\Delta_rG^0 = -nFE_{\text{Ox}/\text{Red}}^0$$

- Pourbaix :

$$\Delta_rG = f(E, pH)$$

- Ellingham :

$$\Delta_rG = f(E, T)$$

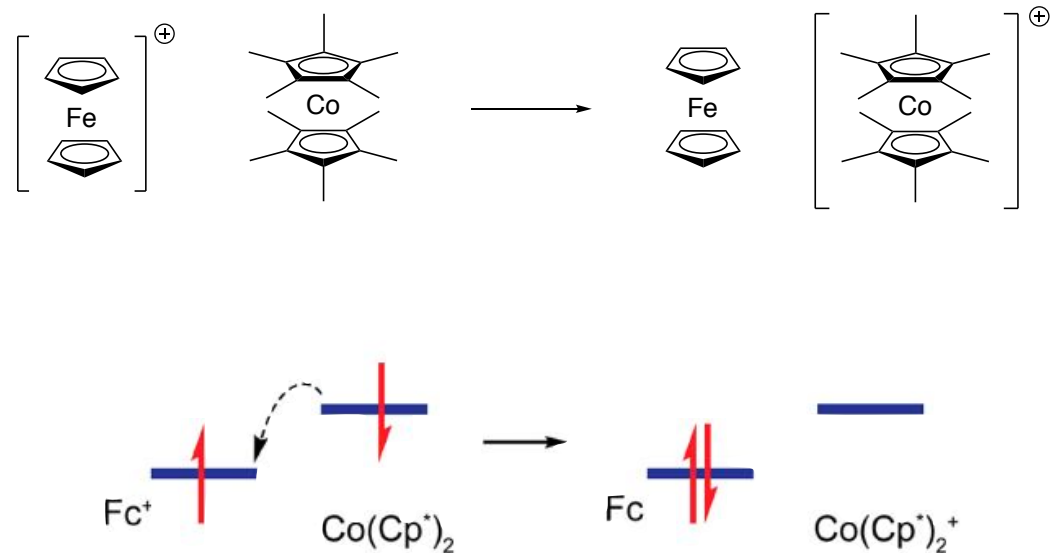
Potentiel Electrique

- Thermo et potentiel électrique :

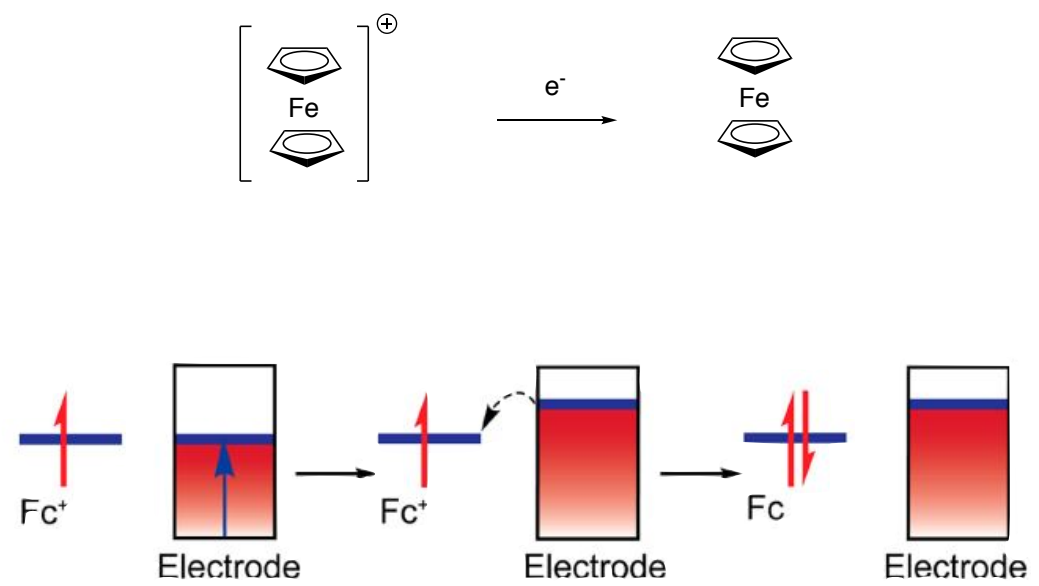


$$\Delta_r G^0 = - nFE_{Ox/Red}^0$$

Réaction homogène



Réaction à l'électrode



La Corrosion



“An irreversible interfacial reaction of a material [...] with its environment which results in consumption of the material or in dissolution into the material of a component of the environment. [...]”

“En France la dégradation des matériaux sous l'effet de l'environnement a coûté en 2019 plus de 80 milliards d'euros, et plus de 2500 milliards de dollars dans le monde.”

- <https://goldbook.iupac.org/terms/view/C01351>
- <https://www.cefracor.org/fr/actualites/pour-un-monde-durable-journee-mondiale-de-la-corrosion-24-avril-2020>

Thermo vs Cinétique



$$E_{O_2/H_2O}^0 \simeq 1,3 \text{ V}_{vs.ENH}$$

$$E_{phenol/quinone}^0 \simeq 0,7 \text{ V}_{vs.ENH}$$

$$\Delta_r G = - nF(E_{O_2/H_2O} - E_{phenol/quinone}) < 0$$



10 min

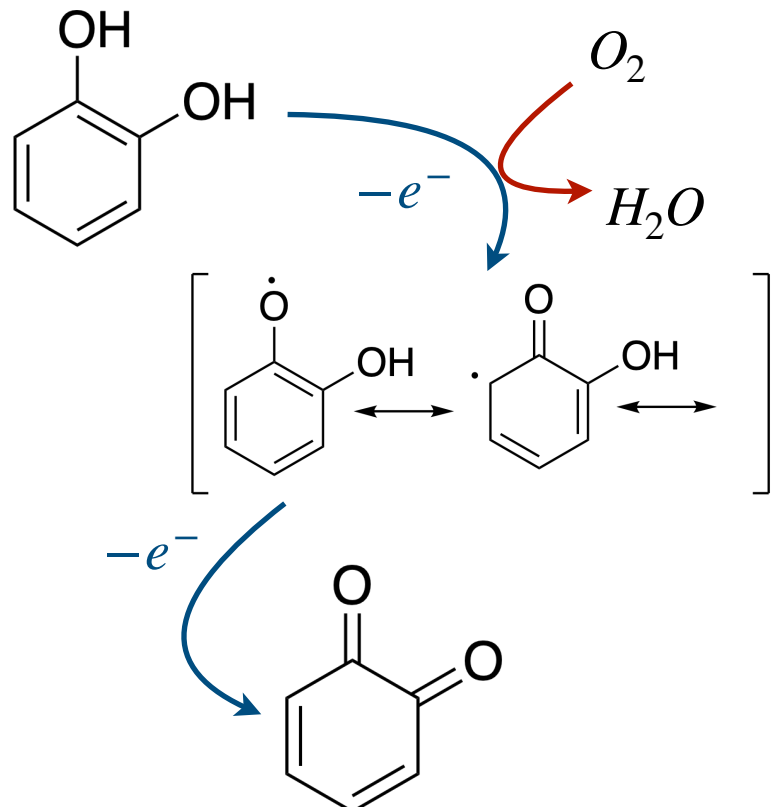
$$E_{Fe^{II}/Fe}^0 \simeq - 0,45 \text{ V}_{vs.ENH}$$

$$\Delta_r G = - nF(E_{O_2/H_2O} - E_{Fe^{II}/Fe}) < 0$$

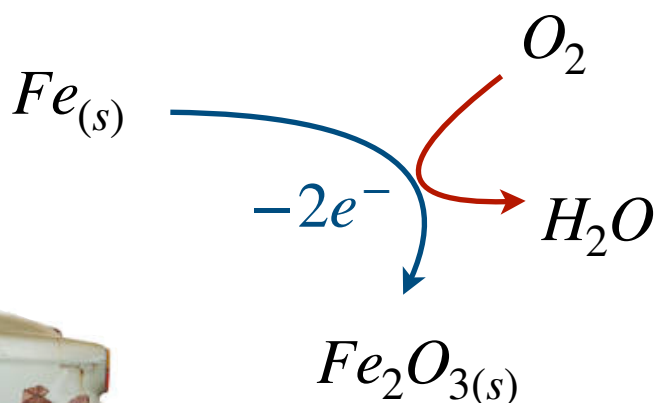


10 ans

Thermo vs Cinétique

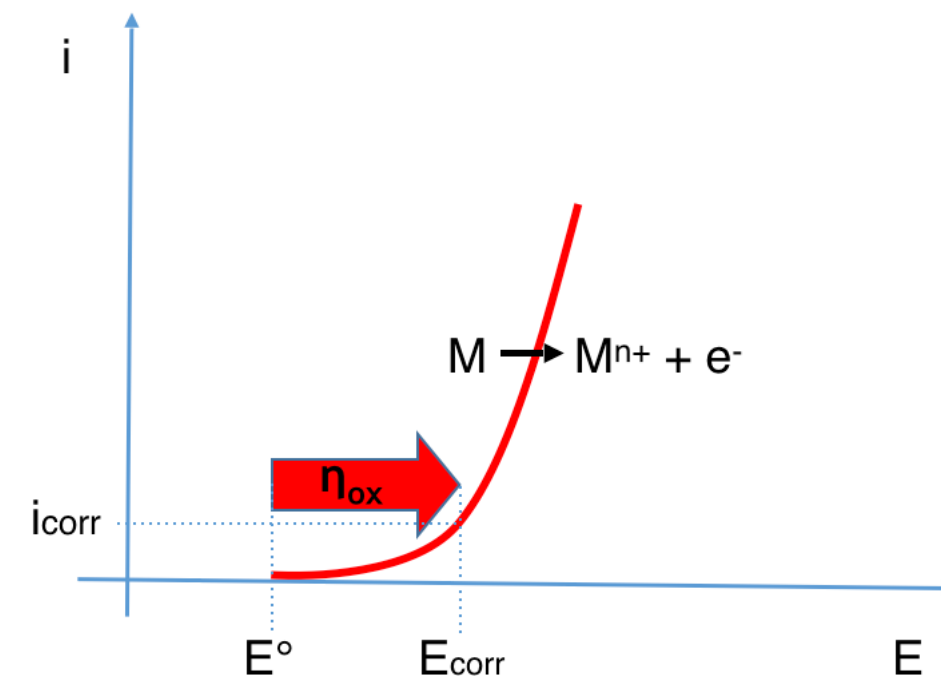
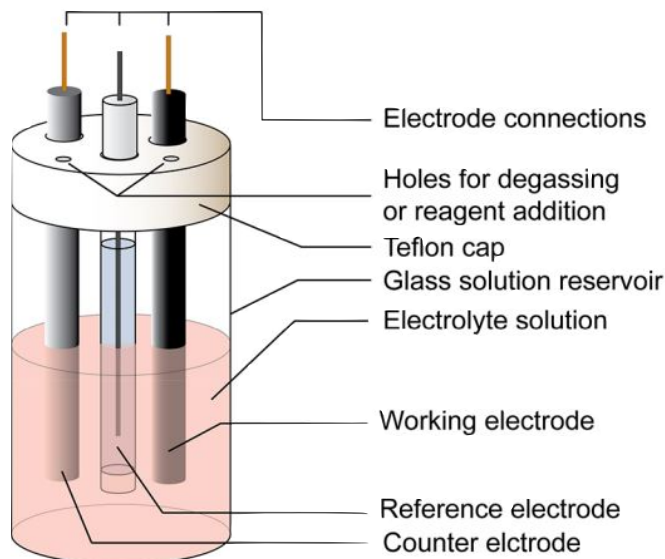


10 min



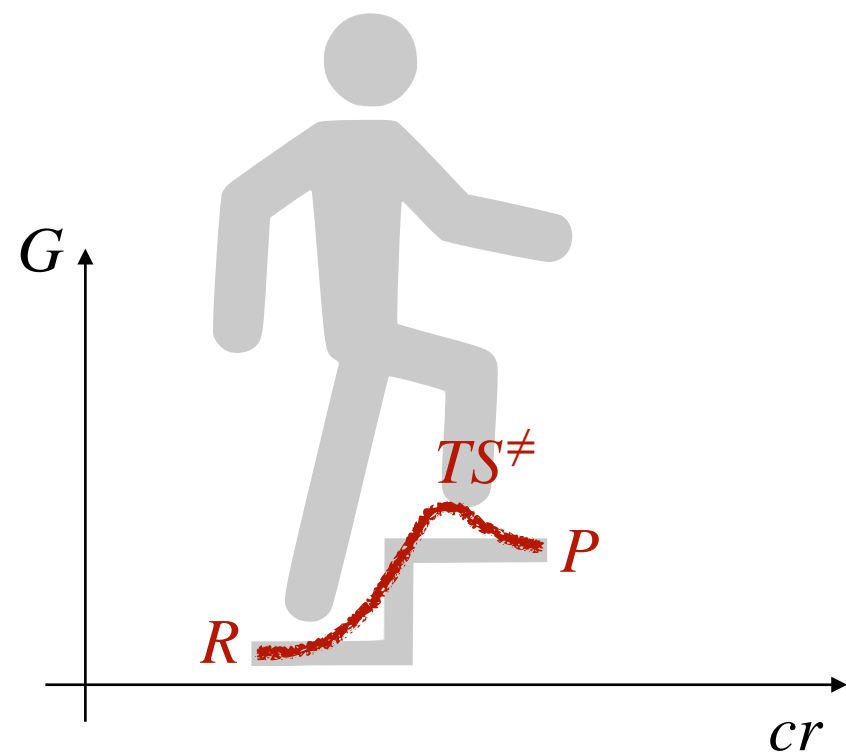
10 ans

Surtensions



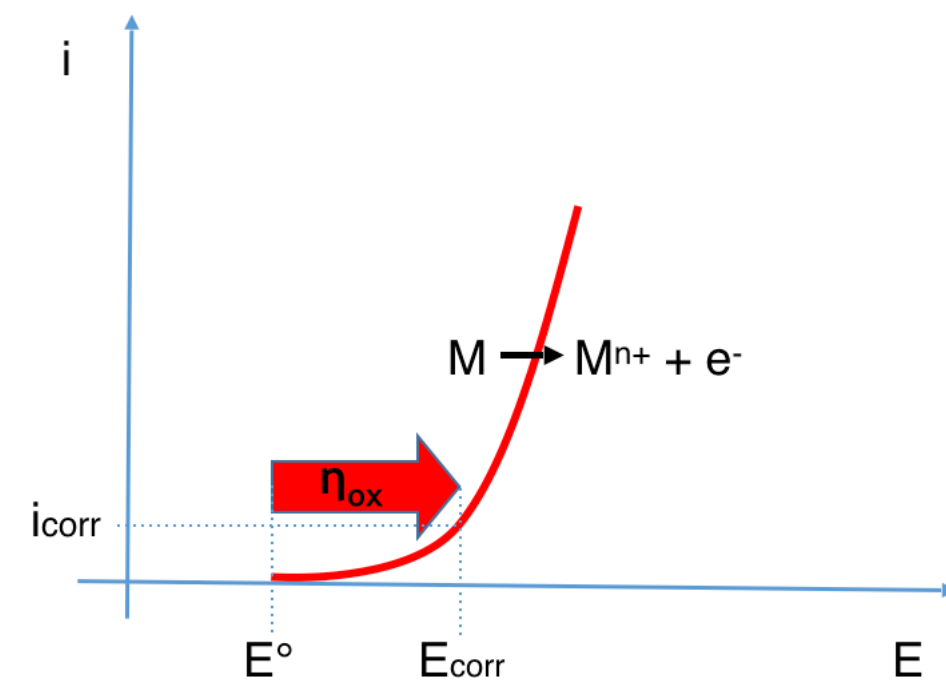
Définition empirique :
la surtension dépend de la surface et est déterminée pour un courant donné.

Surtensions



$$\Delta G^\neq > \Delta G$$

L'énergie d'activation dépend du système chimique et de la nature de l'électrode de travail

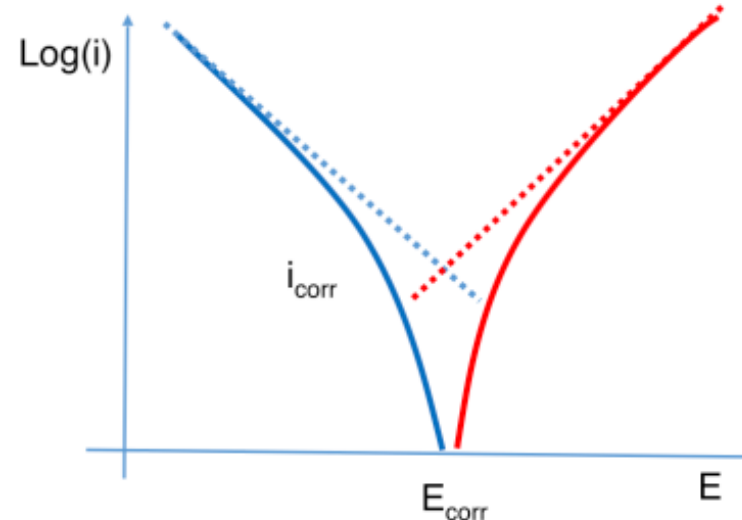
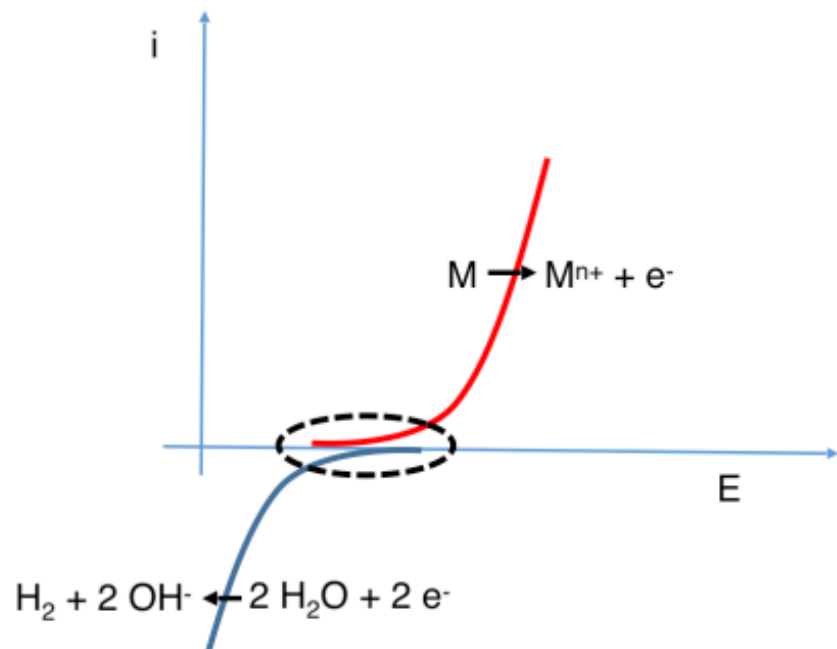


Courant de Corrosion : Tafel

① $i = f(E)$ est du **type Arrhenius**

② Linéarisation

$$k = Ae^{-E_a/RT} \text{ on peut modéliser } i \text{ tel que : } i = Be^{\gamma(E-E^\circ)}$$



Courant de Corrosion : Tafel

- Idée à retenir : pour rationaliser ces surtensions nécessite de modéliser : deux grands noms de l'électrochimie pour expliquer ce que l'on appelle le **transfert de charge**

- ① Butler-Volmer :

$$k = Ae^{-E_a/RT} \text{ on peut modéliser } i \text{ tel que : } i = Be^{\gamma(E-E^\circ)}$$

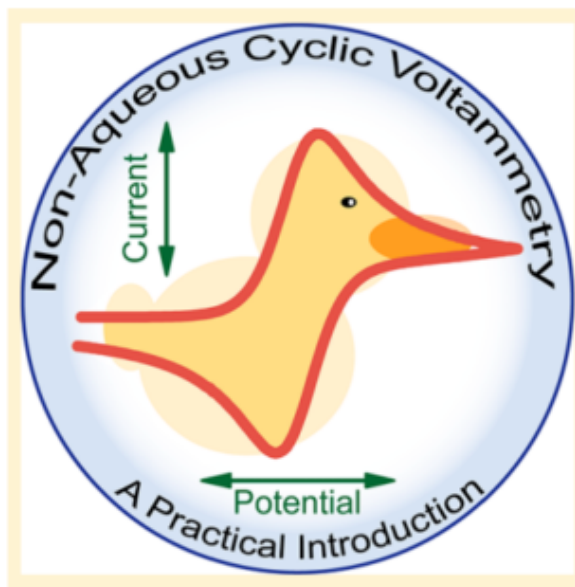
- ② Marcus :

Explication à l'ordre supérieur :

E_a n'est pas toujours proportionnel à E – E°

Limitations physique

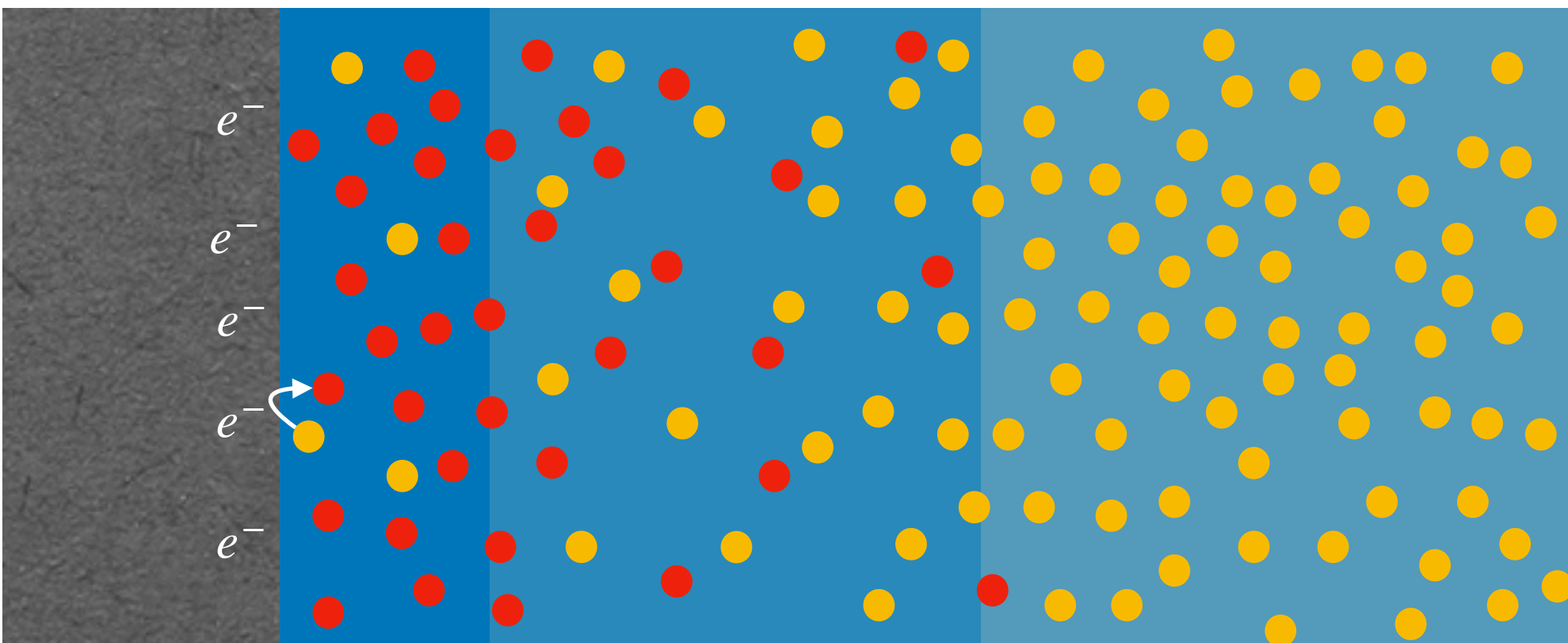
- Il y a cependant toujours une limite à ce transfert de charge : réalisation expérimentale d'une courbe $i=f(E)$



- Cette limitation est due au **transfert de masse**

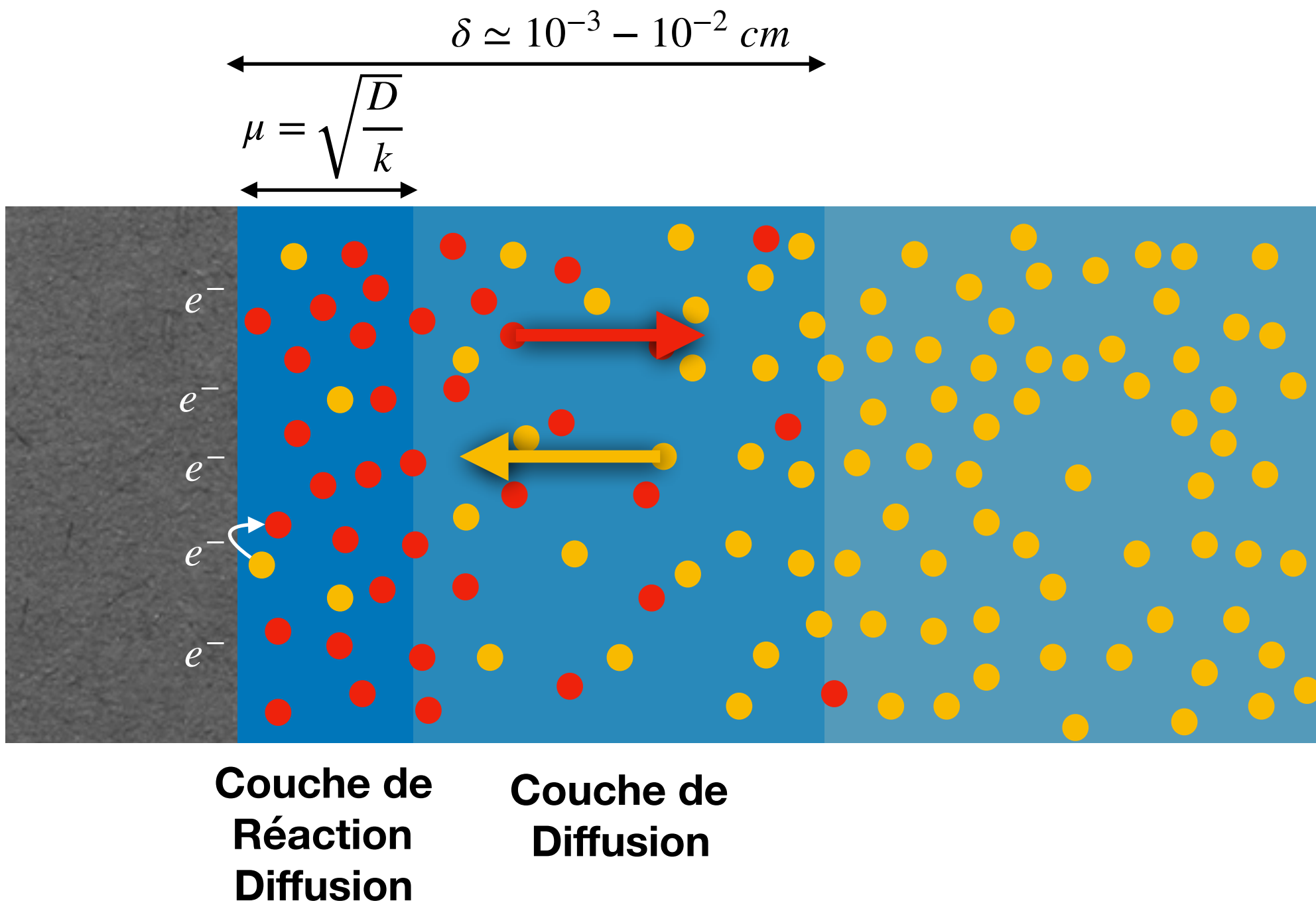
Transfert de masse

$$\mu = \sqrt{\frac{D}{k}}$$



Couche de
Réaction
Diffusion

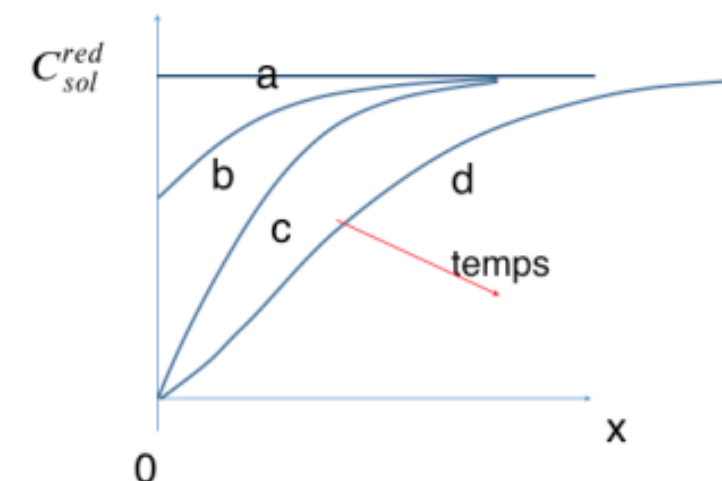
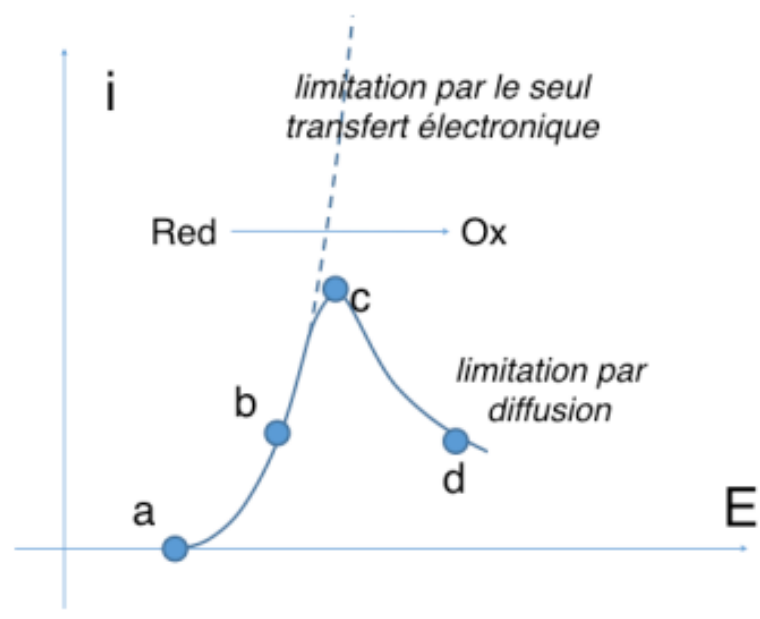
Diffusion



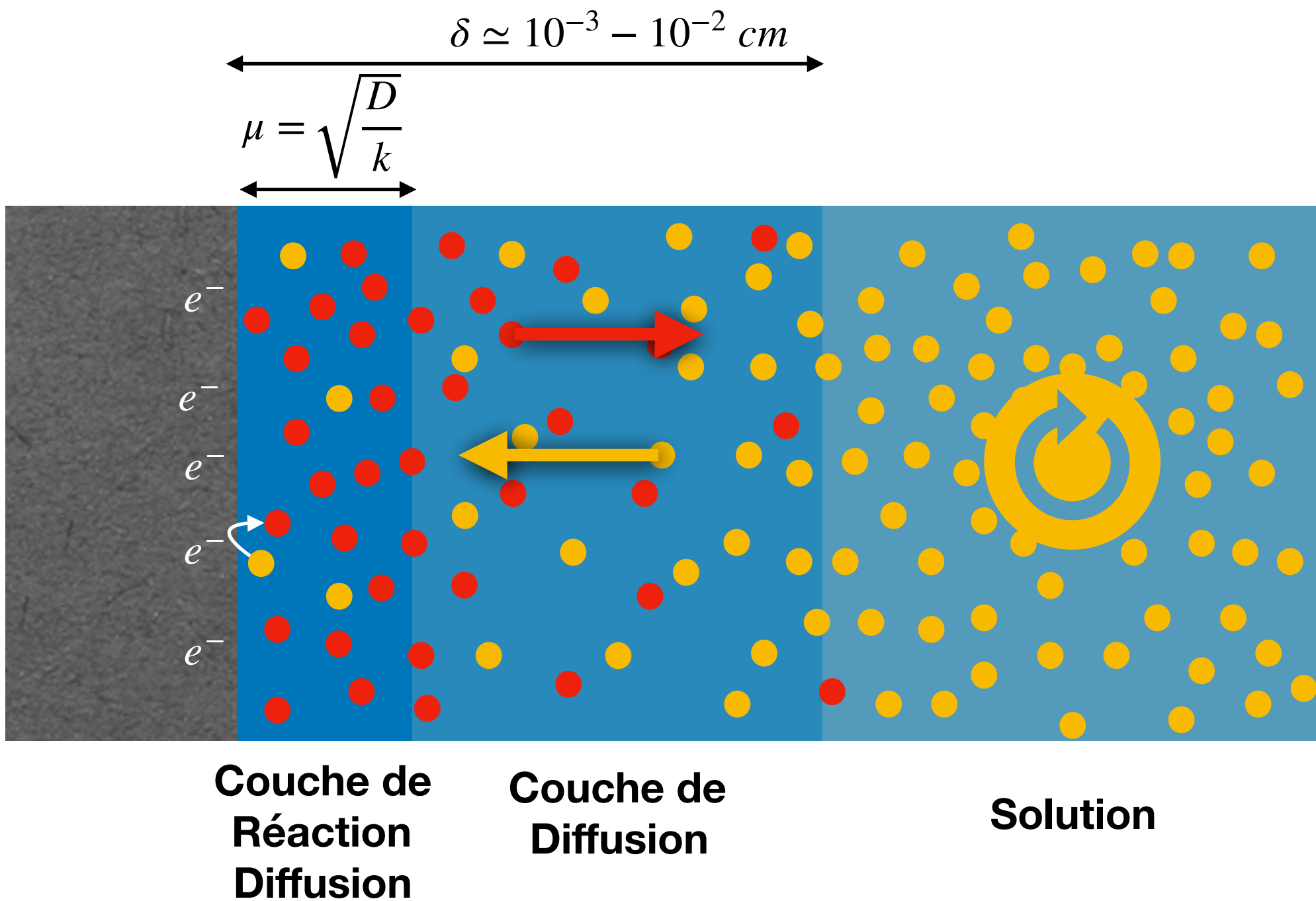
Diffusion

- Le transfert de masse est en partie régit par la **diffusion**

$$\textcolor{brown}{J} = -D\nabla C$$

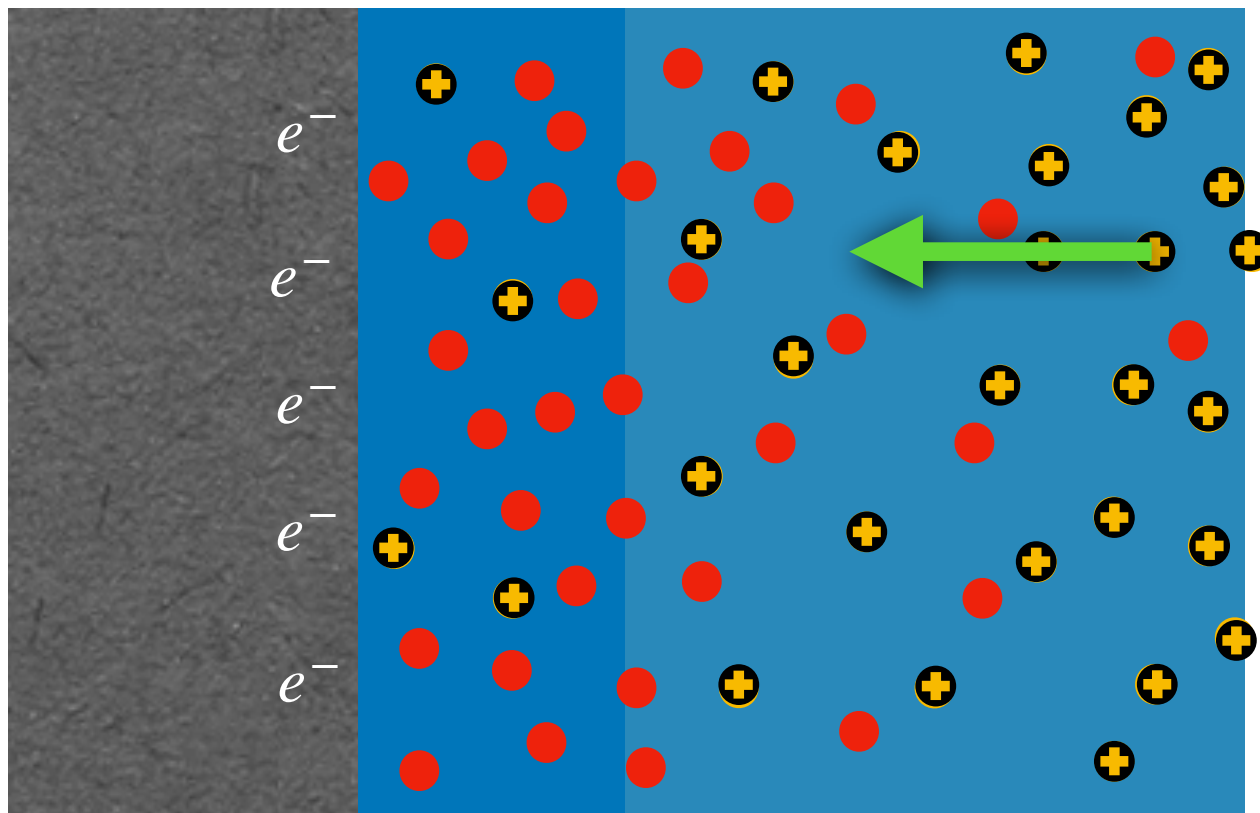


Diffusion



Migration

Electrode

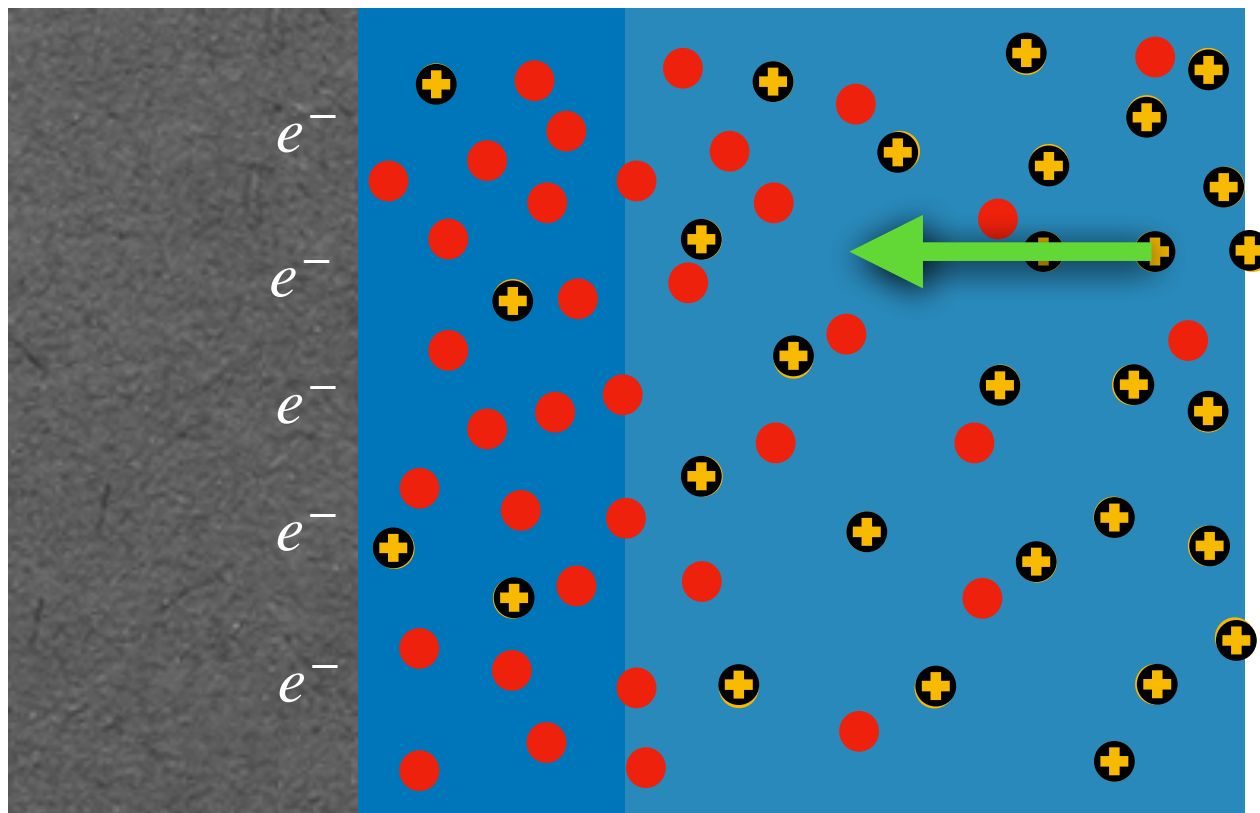


Couche de
Réaction
Diffusion

Couche de
Diffusion

Migration

Electrode



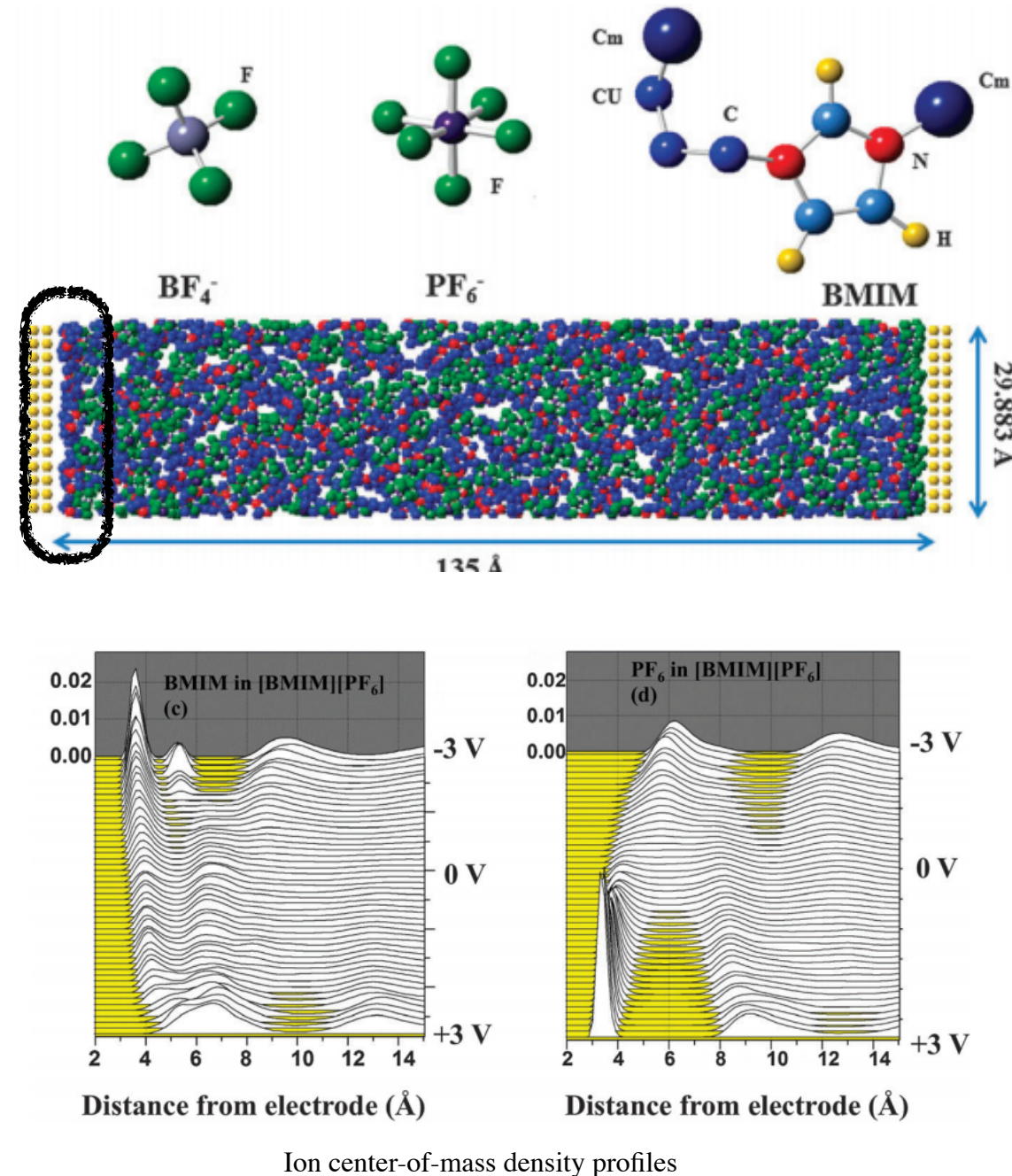
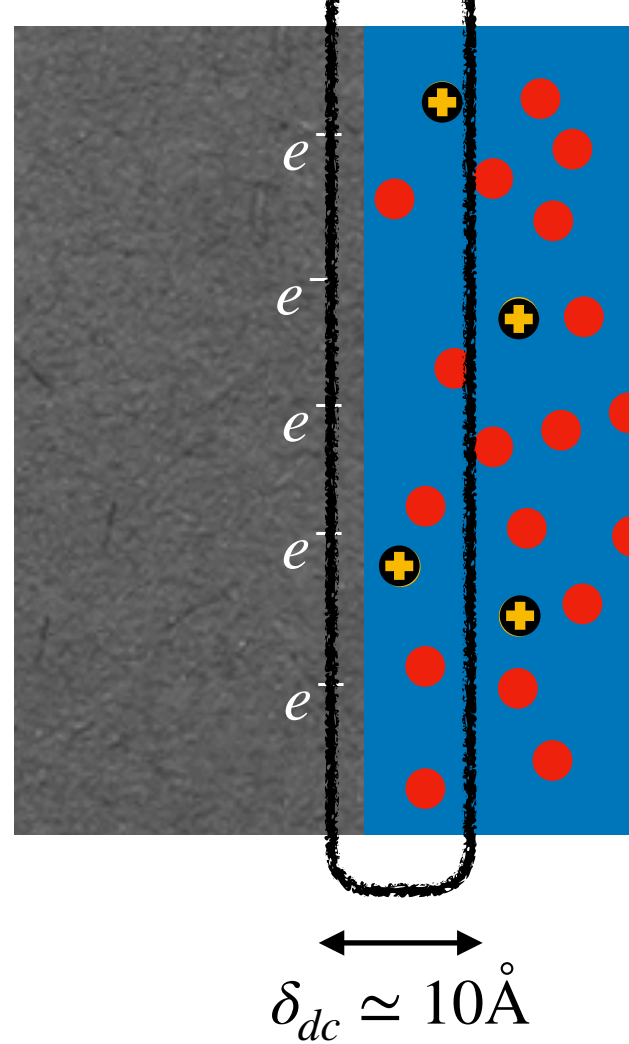
Couche de
Réaction
Diffusion

Couche de
Diffusion

Migration

- Le transfert de masse est en partie régit par la **migration** : mouvement des charges sous l'action d'un champ électrique Généralement on s'affranchit de la migration grâce à l'utilisation d'un sel de fond.
- Cependant des phénomènes dus au champs électriques s'exerçant sur les charges à l'électrode ont tout de même lieu.

Phénomènes de Surface



Synthèse

Modes de **transport** des espèces en solution :

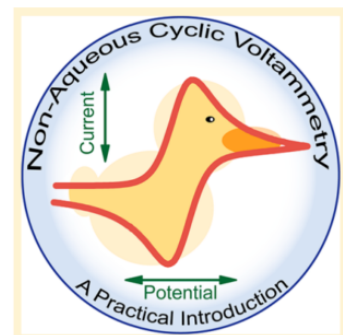
- **Diffusion** (sous l'effet d'un gradient de C°) : toutes les espèces dissoutes
- **Convection** (sous l'effet d'un gradient de densité = mouvement de la solution)
- **Migration** (sous l'effet d'un gradient de champ électrique) : espèces chargées

En absence d'intervention spécifique de l'opérateur, le mode de transport au voisinage s'effectue par **diffusion**.

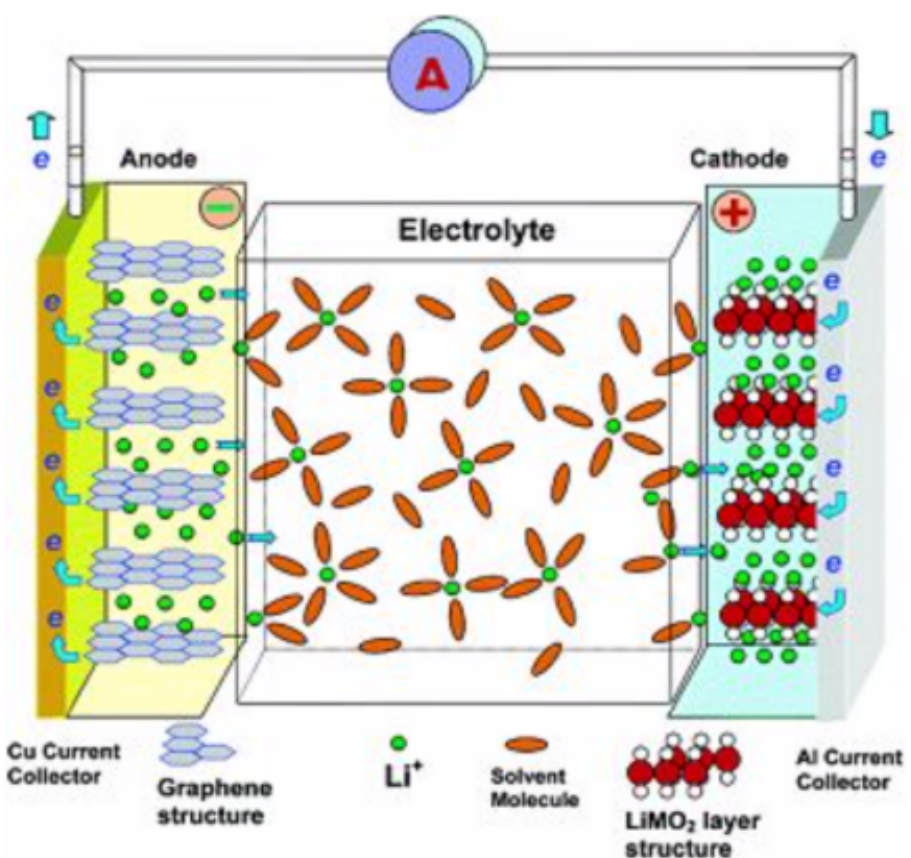
Courbes Intensité-Potentiel

La mesure de courbes $i=f(E)$ permet de :

- mesurer des constantes cinétiques de transfert d'électrons
- mesurer des potentiels de réduction
- et bien plus à découvrir...

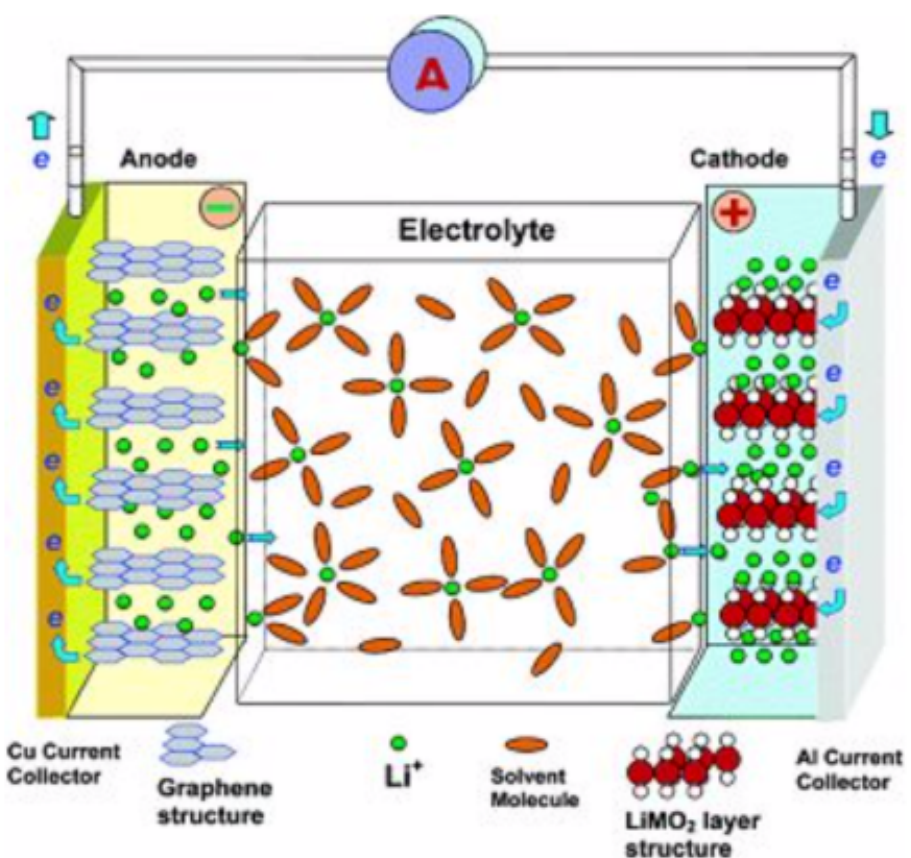


Accumulateurs



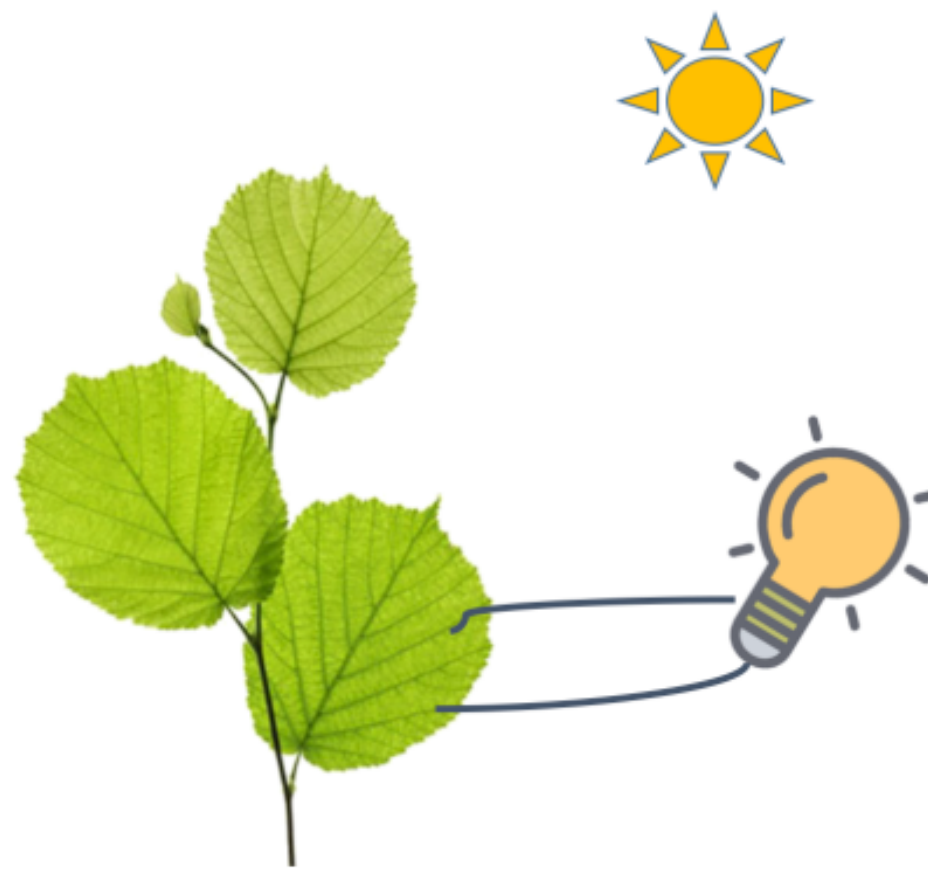
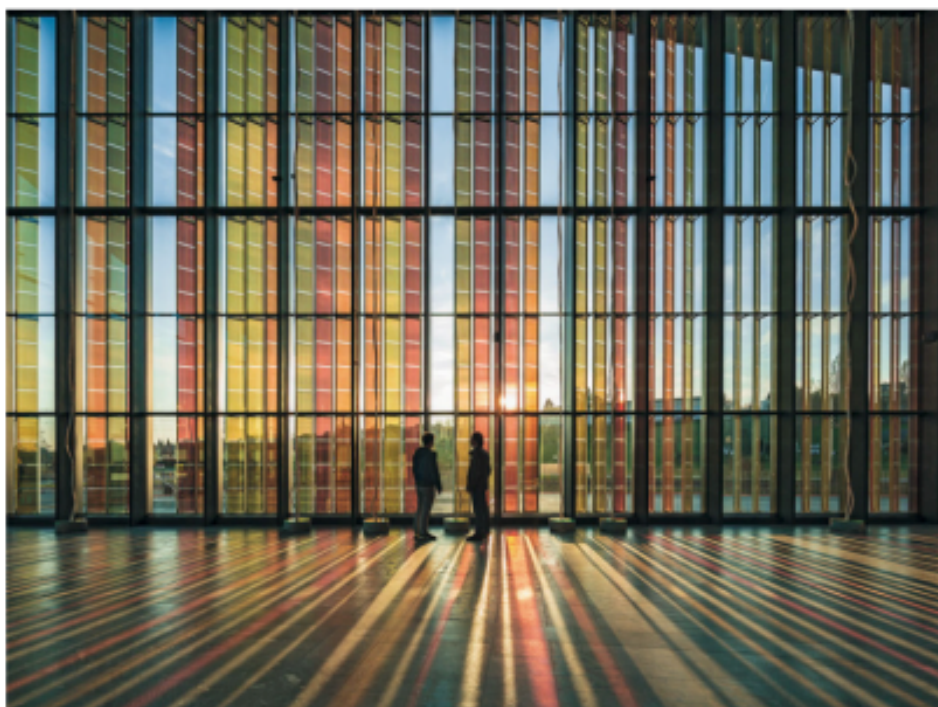
Piles électriques - Piles au lithium, C. Sarrazin, *Technique de l'ingénieur*, 2002
<https://www.encyclopedie-energie.org/accumulateurs-le-futur-du-stockage-d-energie/>
<https://lejournal.cnrs.fr/articles/batterie-sodium-ion-une-revolution-en-marche>

Accumulateurs



- Choix du potentiel de Nernst
- Capacité massique
- Abondance correcte
- Ampérage

Cellules de Grätzel



Cellules de Grätzel

Il existe de nombreux complexes métalliques qui permettent de réaliser un transfert mono-électronique lorsqu'ils sont sous irradiation

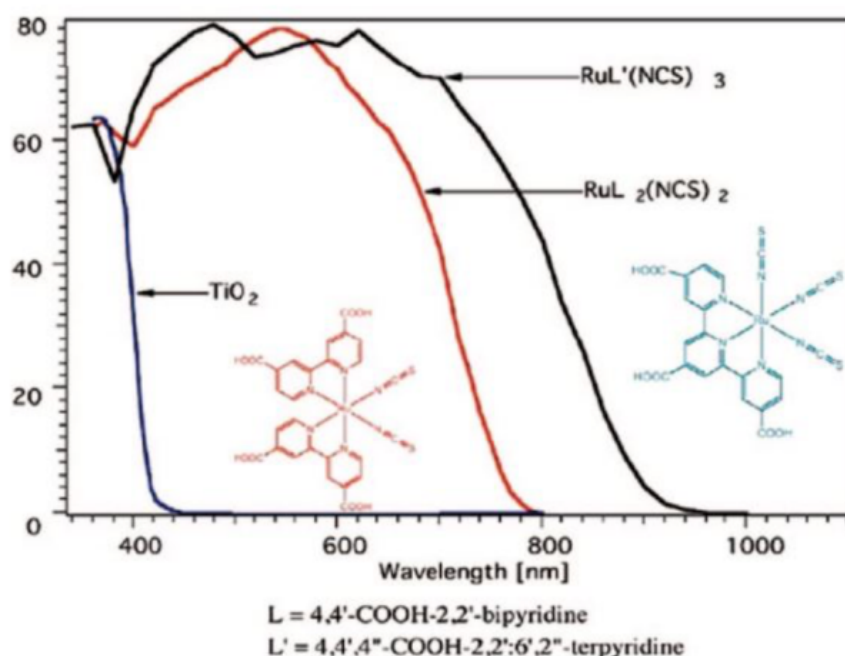


Figure 3. Incident photon to current conversion efficiency as a function of the wavelength for the standard ruthenium sensitizers N3 (red line), the black dye N749 (black curve), and the blank nanocrystalline TiO_2 film (blue curve). The chemical structures of the sensitizers are shown as insets. Reprinted with permission from ref 22. Copyright 2009 American Chemical Society.

Cellules de Grätzel

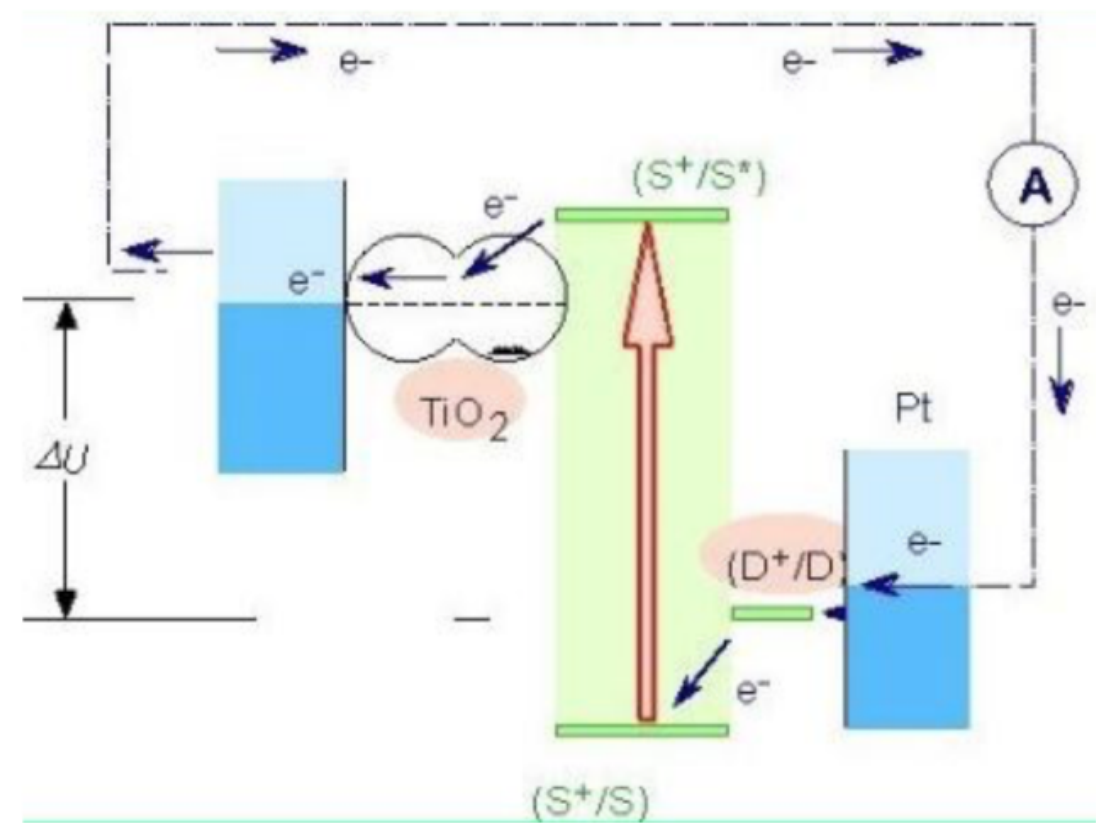
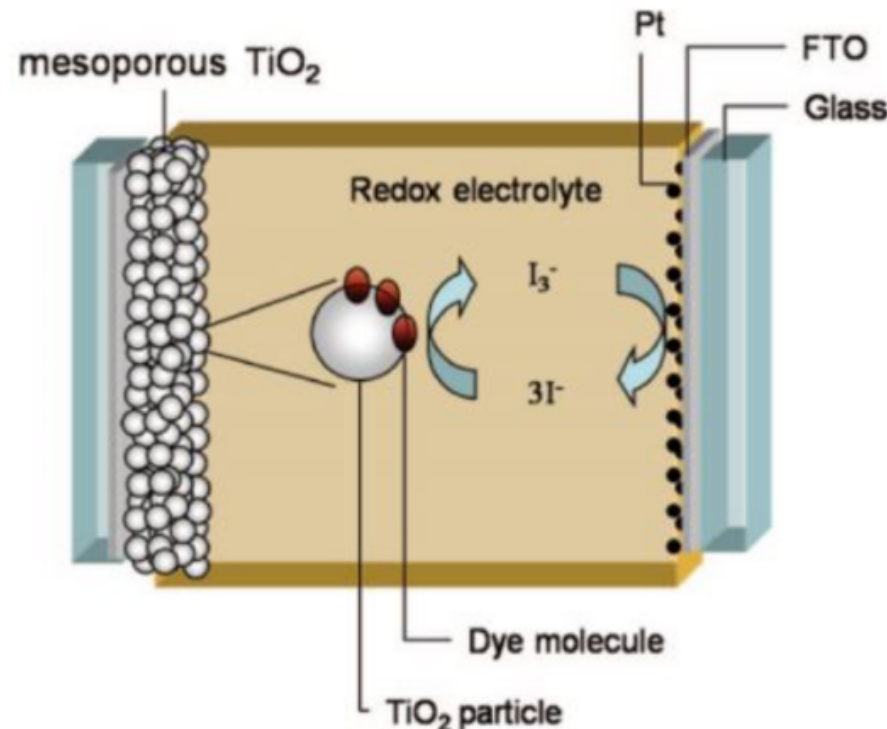


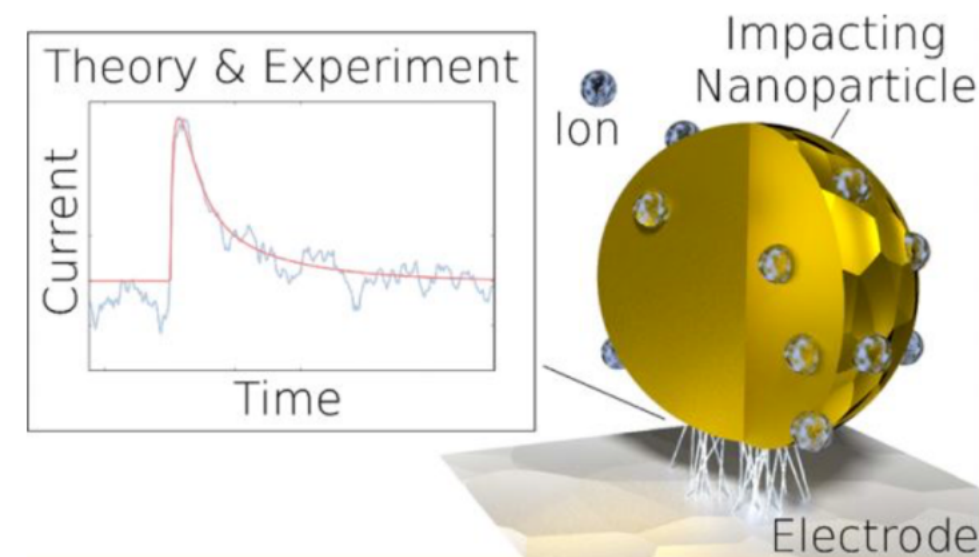
Figure 4. Schematic overview of a dye-sensitized solar cell.

Hagfeldt et al., *Chem. Rev.*, 2010, 110 (11), 6595–6663.

NanolImpact

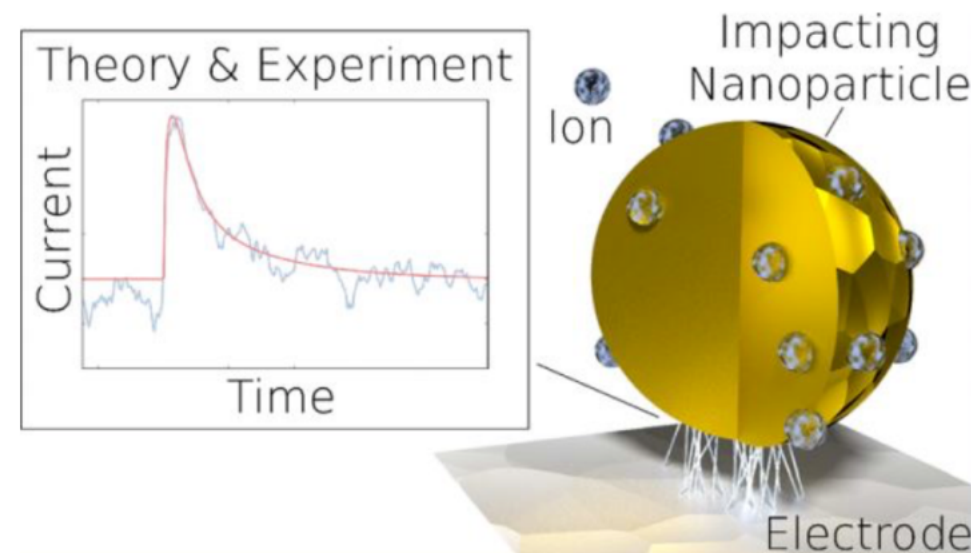
Nanoparticules jouent des rôles catalytiques importants parfois à la place de certains complexes.

Le **NanolImpact** permet de détecter les nanoparticules voir de remonter à leur tailles. On peut même remonter à la distribution de nanoparticules en solution !



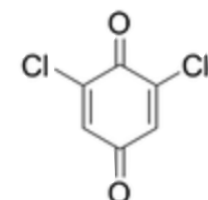
Nanolimpact

Pics d'oxydation de 0,1 à 1nA !

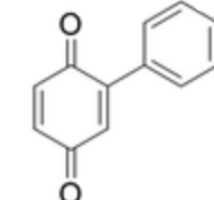


Chimie Physique Biologie de la Matière Vivante

Production d'électricité à partir de suspension de microalgues photosynthétiques et de quinones
Pr. F. Lemaître



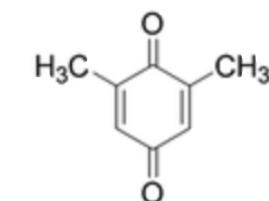
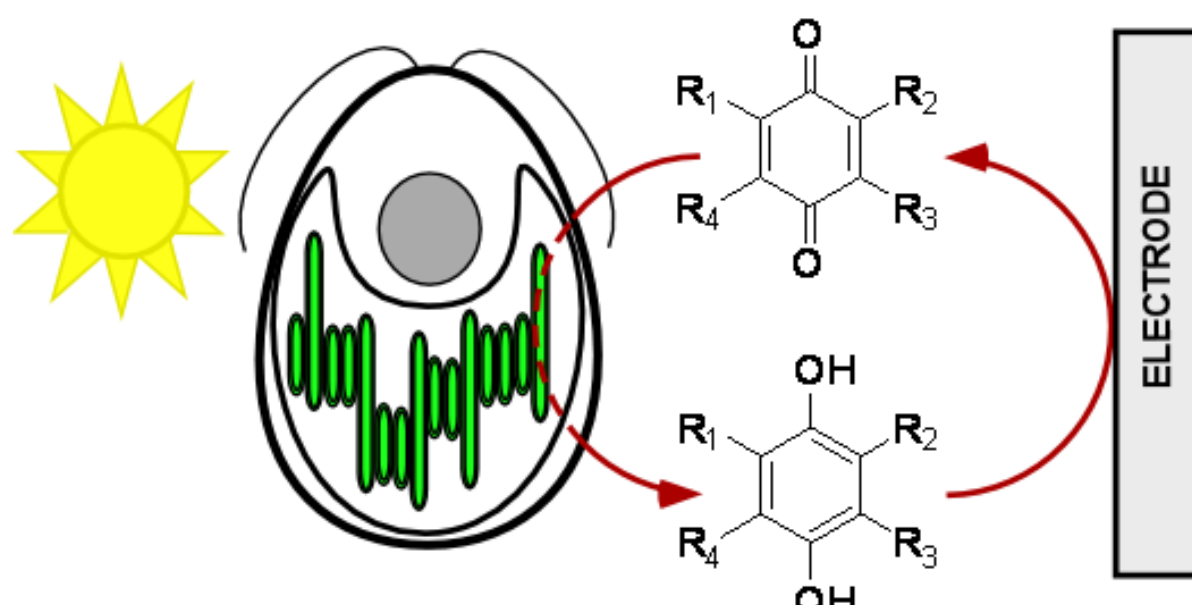
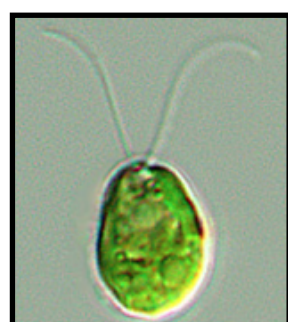
2,6-Dichlorobenzoquinone
(2,6-DCBQ)



p-phenylbenzoquinone
(PPBQ)

$E^\circ(pH\ 7) = 315\ mV\ vs\ SHE$

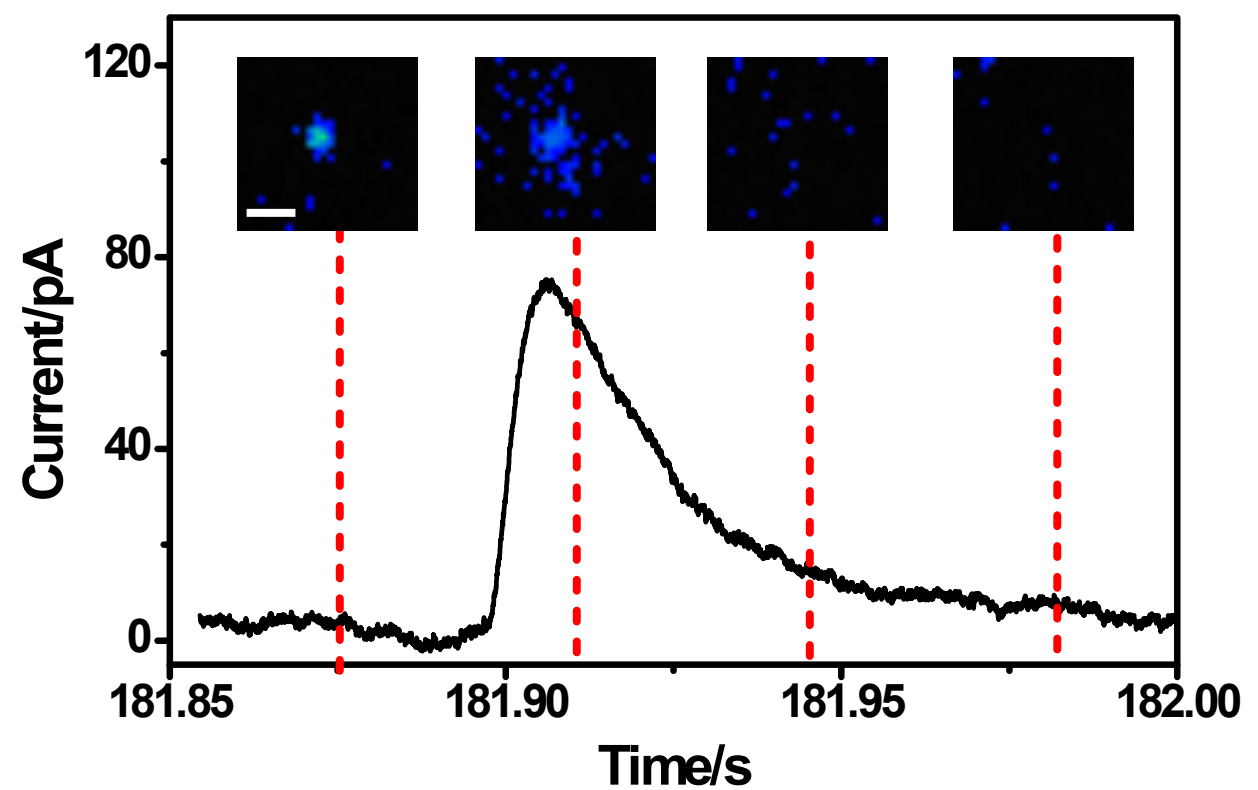
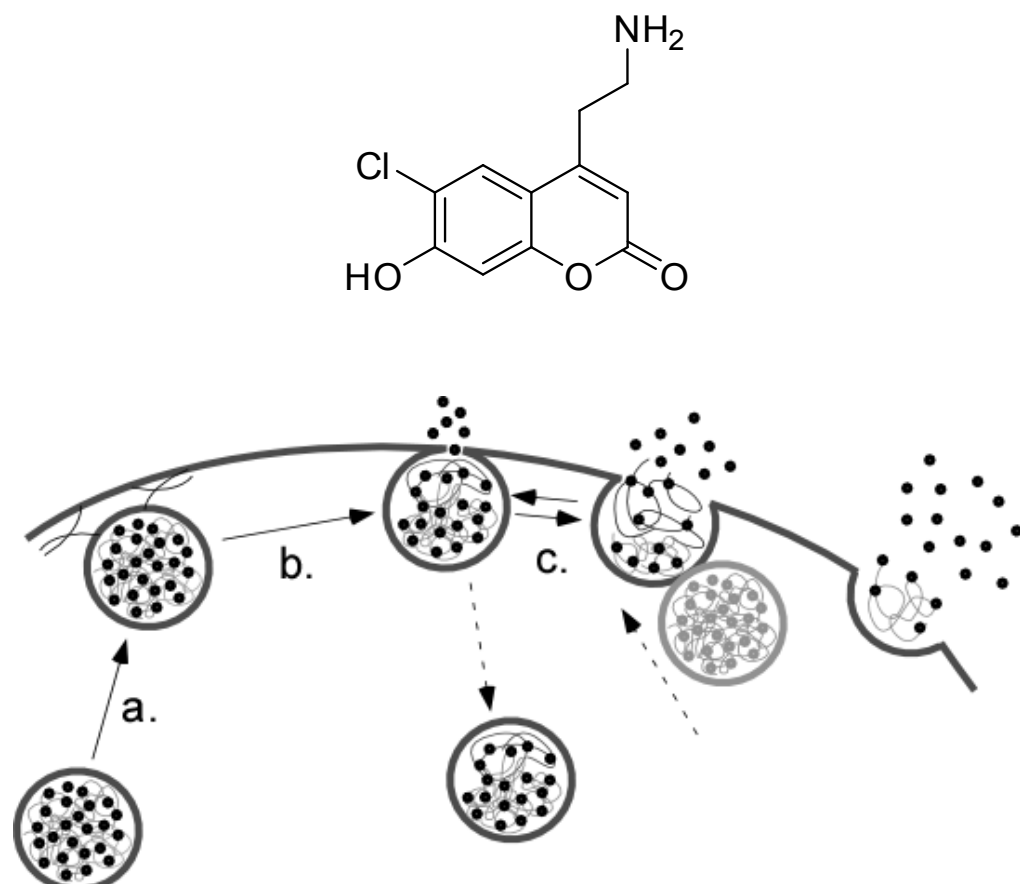
$E^\circ(pH\ 7) = 277\ mV\ vs\ SHE$



2,6-Dimethylbenzoquinone
(2,6-DMBQ)

Chimie Physique Biologie de la Matière Vivante

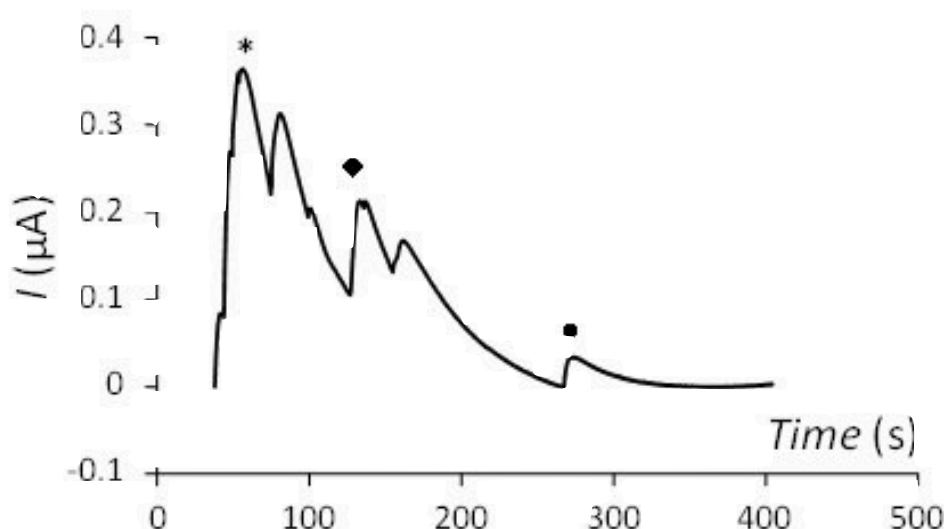
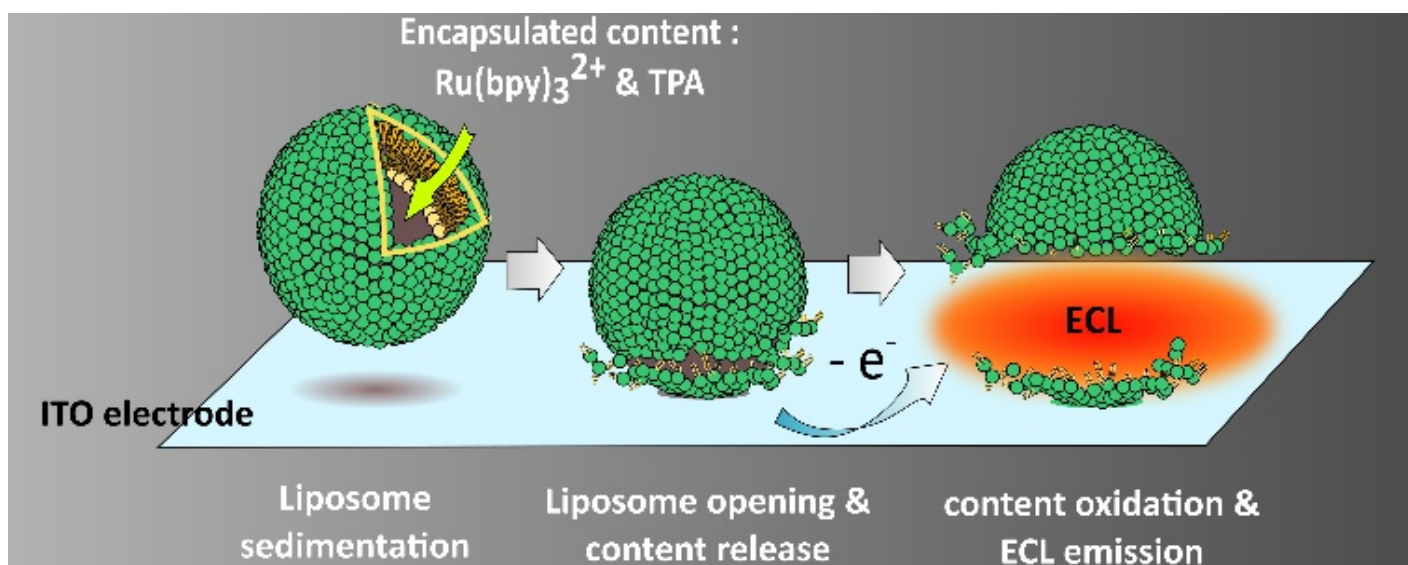
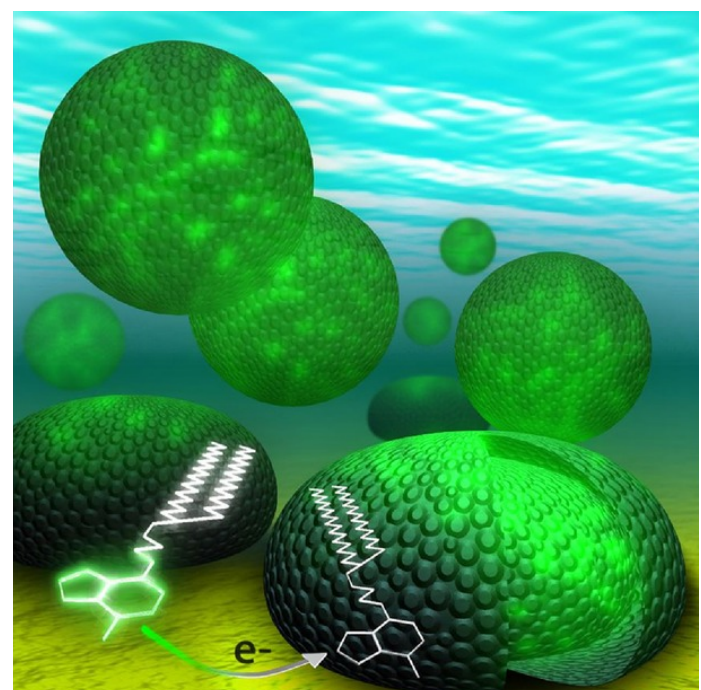
Etude l'exocytose par couplage électrochimie-fluorescence et utilisation de sondes duales
Dr. M. Guille-Collignon



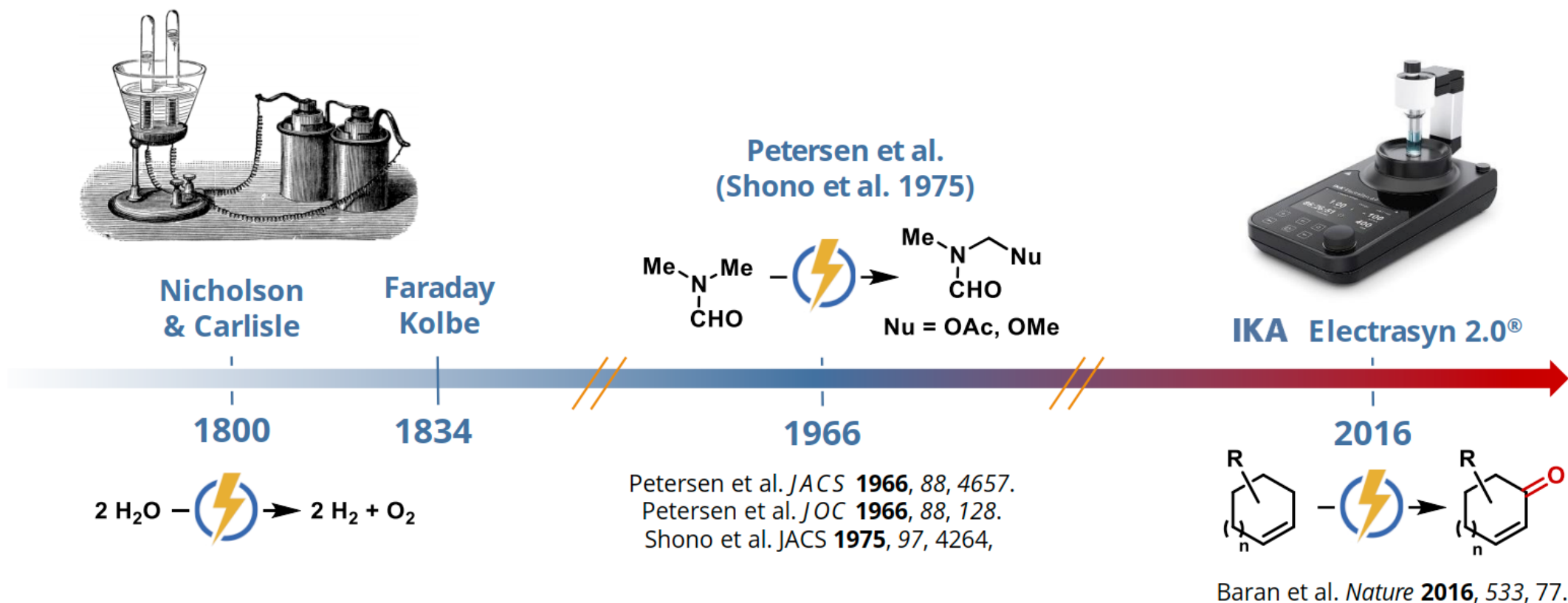
Chimie Physique Biologie de la Matière Vivante

Etude des interactions entre peptides pénétrants et membrane par extinction de fluorescence électro-induite ou electrochimiluminescence

Dr. O. Buriez, Pr. E. Labbé



Laboratoire des Biomolécules



- ✓ **Green** (electron as reagents)
- ✓ **Predictive** (Electroanalytical studies)
- ✓ **Selective** (Potentiostatic conditions)
- ✓ **Safe** (on/off control of the reaction)



???

For reviews, see:

Baran et al. *Chem. Rev.* **2017**, *117*, 13230.
Kärkäs et al. *Chem. Soc. Rev.* **2018**, *47*, 5786
Waldvogel et al. *ACIE* **2018**, *57*, 5594.

Laboratoire des Biomolécules



**Maxime
Vitale**



**Laurence
Grimaud**

Team's research interests

Methods

Metal catalysis



- Rearrangement of cyclopropanes (Pd)
 - (3+2) cycloadditions (Pd,Cu)
 - Dearomatizations (Pd, Cu)

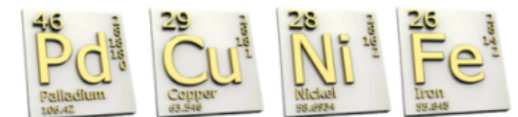
Electrocatalysis



Mechanisms



Kinetic analyses
& Identification of catalytic intermediates

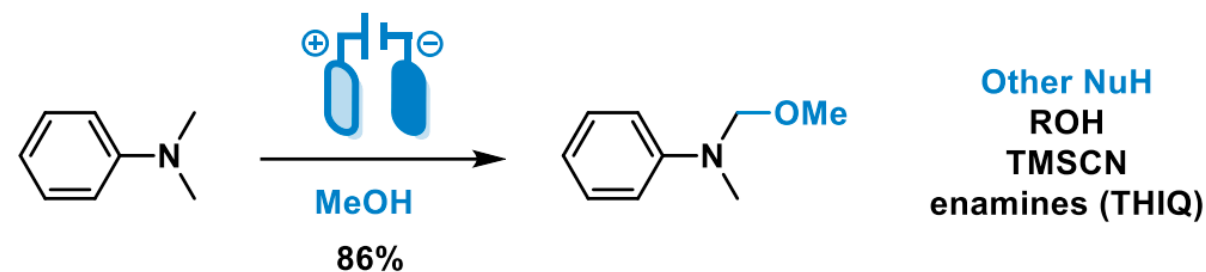


- Suzuki couplings (Pd, Ni)
- (3+2) cycloadditions (Cu)
- Electrophilic activation of allenes (Cu)
- Oxyamination/aziridination (Fe)

Laboratoire des Biomolécules

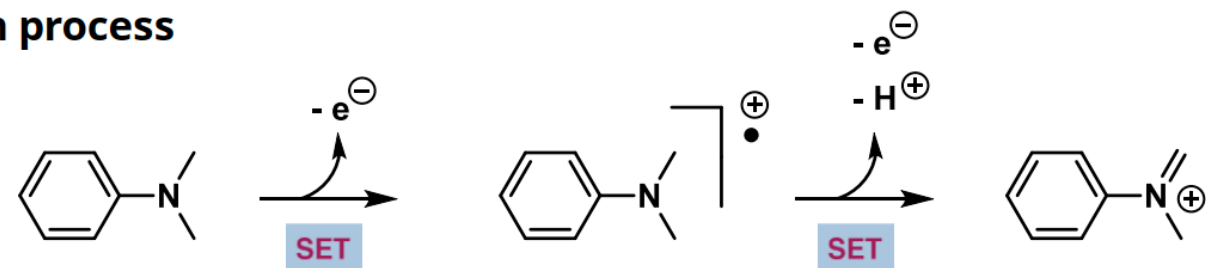
Anodic oxydation of amines

Direct oxydation

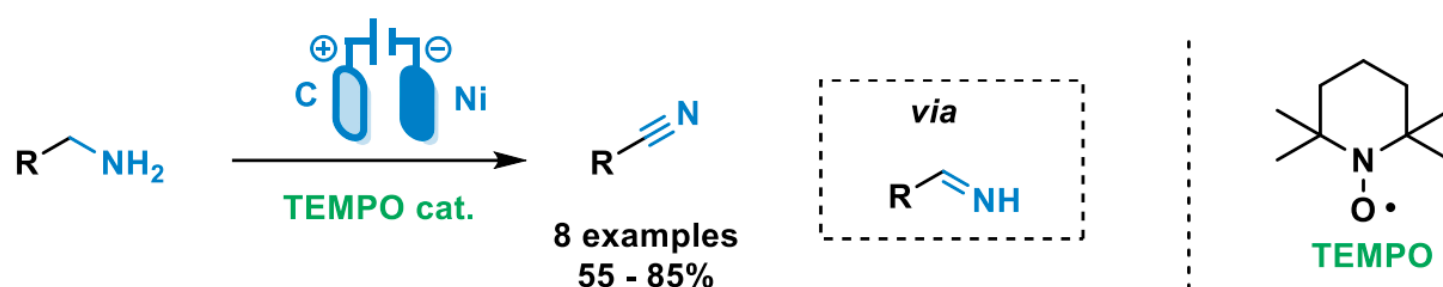


Weinberg & Brown *JOC* **1966**, 31, 4058.
For a review, see: Kärkäs et al. *Chem. Soc. Rev.* **2018**, 47, 5786,

consecutive SET oxidation process

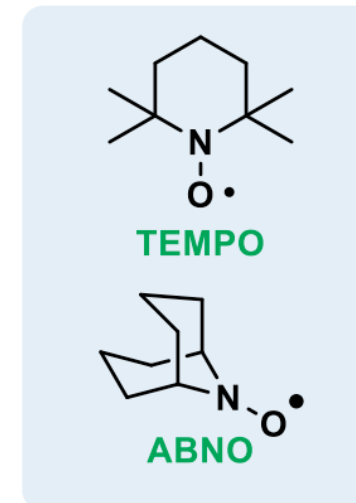
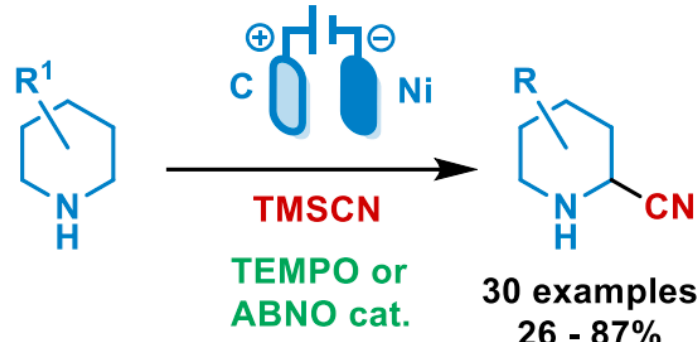


Indirect oxidation – Redox mediator



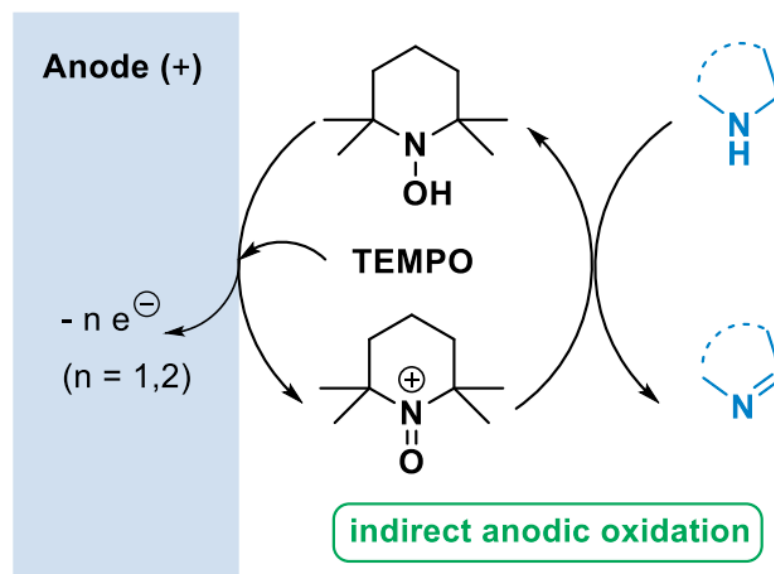
Laboratoire des Biomolécules

Indirect oxidation – Redox mediator



Chiba et al. *JOC* **1977**, *42*, 2973.
Stahl et al. *JACS* **2018**, *140*, 11227.

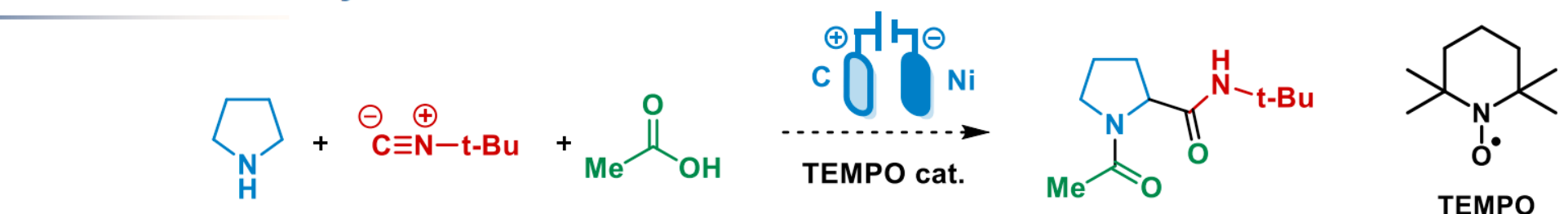
Catalytic process : $2 e^- \ominus$ oxydation (formal hydride transfert)



For reviews on indirect electrolysis, see:
Franke & Little *Chem. Soc. Rev.* **2014**, *43*, 2492.
Stahl et al. *Chem. Rev.* **2018**, *118*, 4834.

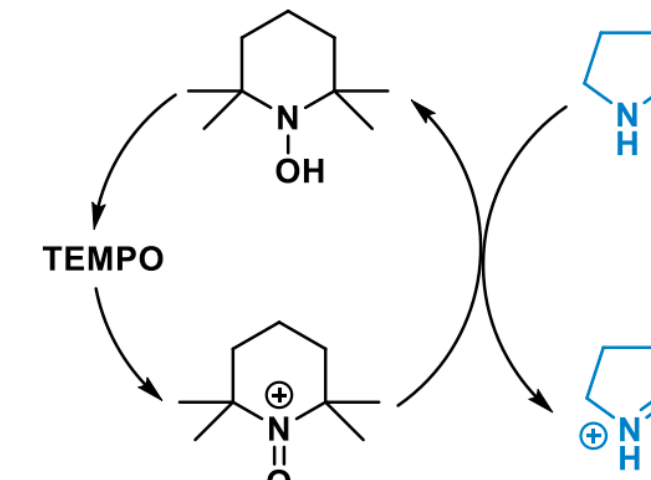
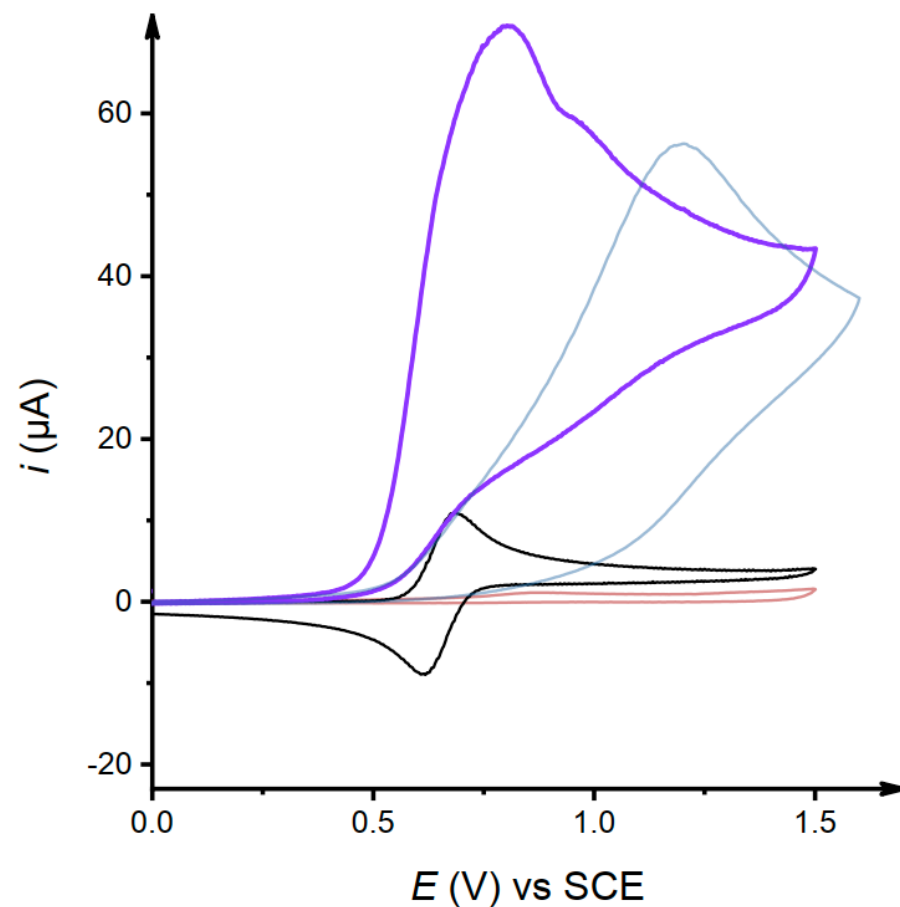
Laboratoire des Biomolécules

Cyclic voltammetry



0.3 M of $n\text{-Bu}_4\text{NBF}_4$ in MeCN performed at 20°C,
(0.1 V/s, GC ($\varnothing = 3 \text{ mm}$) as WE, Pt wire as CE and SCE as RE).

— $t\text{BuNC}$ (20 mM)
— TEMPO (2 mM)
— pyrrolidine (20 mM)



TEMPO $^\bullet$ is consumed **and** regenerated
Electrocatalytic effect

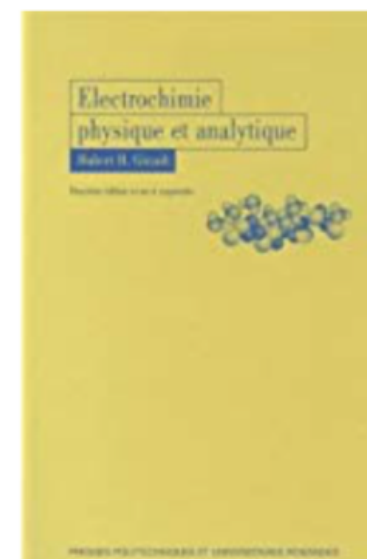
Références Bibliographiques



Y. Verchier
F. Lemaitre



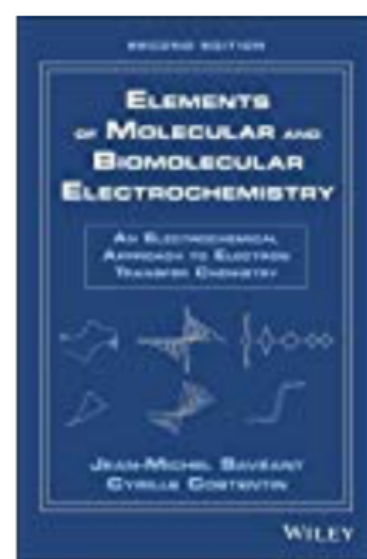
F. Miomandre



H. Girault



A. Bard



J.M. Savéant

